

# طراحی کنترل کننده‌های غیرخطی زمان-محدود مقاوم برای زیردریایی شش

## درجه آزادی به منظور رديابي مسيير

علی ابوئی<sup>۱</sup>، مهران اسلامی نصرت‌آبادی<sup>۲</sup> و محمد حائری<sup>۳</sup>

<sup>۱</sup> استادیار، دانشکده مهندسی برق، بخش الکترونیک و کنترل، دانشگاه یزد، Aliabooee@yazd.ac.ir

<sup>۲</sup> دانشجوی کارشناسی ارشد مهندسی برق، بخش الکترونیک و کنترل، دانشگاه یزد، Mehranqwerty@yahoo.com

<sup>۳</sup> استاد، دانشکده مهندسی برق، گروه کنترل، دانشگاه صنعتی شریف، Haeri@sina.sharif.edu

پذیرش: ۱۳۹۷/۰۵/۰۷

ویرایش: ۱۳۹۶/۰۵/۱۱

دریافت: ۱۳۹۶/۰۵/۱۱

**چکیده:** در این مقاله، ابتدا معادلات سینماتیکی و دینامیکی توصیف کننده‌ی مدل حرکت و مانور زیردریایی شش درجه آزادی ارائه می‌شوند. در ادامه، با تعمیم روش کنترل مدل لغزشی ترمینال غیرتکین، سه دسته‌ی مجزا از ورودی‌های کنترلی برای زیردریایی شش درجه آزادی دارای نامعینی (شامل نامعینی‌های پارامتری، دینامیک‌های مدل‌نشده، نیروها و اختشاش‌های ناشناخته واردۀ از اقیانوس) طراحی می‌شوند تا با اعمال هر دسته از ورودی‌های پیشنهادی، زیردریایی بعد از مدت زمان محدودی به مسیر دلخواه و مورد نظر همگرا شود و همواره در امتداد این مسیر مانور دهد. برای هر دسته از ورودی‌های کنترلی، سطوح لغزشی غیرخطی متفاوتی پیشنهاد شده‌اند که دارای چندین پارامتر اختیاری و آزاد می‌باشند. هم‌چنین، در فرآیند اثبات پایداری زمان-محدود سیستم حلقة‌بسته‌ی زیردریایی، برای هر کلاس از ورودی‌های کنترلی طراحی شده یک نامساوی کاربردی استخراج می‌شود تا زمان محدود مورد نیاز برای همگرایی به مسیر مورد نظر را تعیین کند. سه نامساوی حاصله نشان می‌دهند که زمان‌های محدود همگرایی، به شرایط اولیه زیردریایی و پارامترهای اختیاری و آزاد موجود در ورودی‌های کنترلی بستگی دارند. در انتها، ورودی‌های کنترلی پیشنهادی به صورت جداگانه بر روی مدل معروف زیر دریایی NPS AUV II موردن P شبیه‌سازی کامپیوترویی قرار می‌گیرند. نتایج حاصل از شبیه‌سازی‌ها نشان می‌دهند تمامی ورودی‌های پیشنهادی قادرند تا هدف ریدیابی زمان-محدود را به خوبی برآورده سازند.

**كلمات کليدي:** زیردریایی خودکار شش درجه آزادی، ریدیابی زمان-محدود مقاوم، کنترل مدل لغزشی ترمینال غیرتکین، سطوح لغزشی غیرخطی، دینامیک مدل لغزشی، زیردریایی NPS AUV II

## Design of Robust Finite-Time Nonlinear Controllers for a 6-DOF Autonomous Underwater Vehicle for Path Tracking Objective

Ali Abooe, Mehran Eslami NosratAbadi, and Mohammad Haeri

**Abstract:** In this paper, kinematic and dynamic equations of a 6-DOF (Degree Of Freedom) autonomous underwater vehicle (6-DOF AUV) are introduced and described completely. By developing the nonsingular terminal sliding mode control method, three separate groups of control inputs are proposed for the autonomous underwater vehicle subjected to uncertainties including parametric uncertainties, unmodeled dynamics, and unknown disturbances from ocean. All classes of suggested inputs are able to steer the mentioned underwater vehicle to the desired path within finite times. For all of them, innovative nonlinear sliding surfaces are defined possessing several optional parameters. The global finite-time stability is proven for the closed-loop system of the aforementioned underwater vehicle injected by each class of proposed inputs. More, three applicable inequalities are derived to determine the convergence finite times related to suggested inputs. Obtained inequalities reveal that the mentioned finite times are dependent on initial conditions and optional parameters of control inputs. Finally, three suggested inputs are separately simulated on the Naval Postgraduate School Autonomous Underwater Vehicle II (NPS AUV II). Simulation results illustrate that all proposed inputs can fulfill the trajectory tracking objective for the NPS AUV II properly.

**Keywords:** 6-DOF autonomous underwater vehicle (6-DOF AUV), Robust finite-time tracking, Nonsingular terminal sliding mode control, sliding mode dynamic (sliding motion), NPS AUV II.

می‌شود و حتی پایداری مجانبی سرتاسری (فراگیر) نیز برآورده نمی‌گردد [۱، ۲، ۷، ۸، ۱۹].

(ب) در نظر نگرفتن نامعینی‌ها<sup>۵</sup> همچون نامعینی‌های پارامتری، ترم‌های دینامیکی مدل نشده، نیروهای ناشناخته از طرف اقیانوس و اغتشاش‌های خارجی در حین فرآیند طراحی ورودی‌های کنترلی. فلاندا این روش‌های کنترلی در پیاده‌سازی عملی با مشکل مواجه خواهد شد و حتی ممکن است در مواردی ناپایداری سیستم حلقه‌بسته‌ی زیردریابی رخ می‌دهد [۱، ۳-۵، ۱۶، ۱۷، ۲۸، ۷، ۸، ۱۲، ۱۷، ۲۶].

(پ) طراحی ورودی‌های کنترلی زیردریابی به منظور فقط کنترل عمق (Z) یا کنترل حرکت زیردریابی در صفحه (Y-X)<sup>۶</sup> و عدم توجه به کنترل جامع و کامل زیردریابی در هنگام حرکت سه بعدی (X-Y-Z) و راستاهای مرتبط [۳، ۴، ۸، ۱۲، ۱۷، ۲۳، ۲۴، ۲۶].

(ت) تضمین و اثبات پایداری مجانبی [۱۷-۲۷] (و در مواردی پایداری UUB<sup>۷</sup> [۱۴، ۲۰، ۲۱] و پایداری نمایی [۶، ۱۰، ۱۳، ۲۹]) برای سیستم حلقه‌بسته‌ی زیردریابی و عدم توجه به پایداری زمان-محدود<sup>۸</sup> به غیر از مرجع [۳۰]. فلاندا اغلب روش‌های کنترلی ارائه شده، باعث می‌گرددند که زیردریابی هرگز به طور دقیق به مسیرهای مورد نظر همگرا نشود و همیشه خطاهای حالت ماندگاری در ریدیابی مسیرها وجود داشته باشند.

با توجه به مطالعه ذکر شده، در این مقاله با درنظر گرفتن مدل غیرخطی برای زیردریابی خودکار شش درجه آزادی<sup>۹</sup> که تحت تاثیر انواع نامعینی‌ها می‌باشد، ورودی‌های کنترلی غیرخطی چنان طراحی می‌شوند تا زیردریابی را بعد از گذشت مدت زمان محدودی در امتداد مسیر دلخواه قرار داده و پایداری زمان-محدود سیستم حلقه‌بسته را تضمین دهن. این مقاله، از بسط و تعیین روش کنترل مدل لغزشی ترمینال غیرتکین<sup>۱۰</sup> برای طراحی ورودی‌های کنترلی زیردریابی استفاده شده است. به منظور توجیه دلیل انتخاب روش کنترل ذکر شده، در پاراگراف بعدی موروری مختصراً بر روی پایداری زمان-محدود و روش‌های این نوع پایدارسازی انجام می‌شود.

در پایداری زمان-محدود سرتاسری سیستم غیرخطی، با شروع از هر شرایط اولیه‌ای، پاسخ‌های متغیرهای حالت سیستم بعد از گذشت زمان محدودی دقیقاً به نقطه تعادل (مبدأ) همگرا می‌شوند و شرط لازمه برای آن، پایداری مجانبی سرتاسری است [۳۱]. در دهه اخیر [۳۲-۳۵] در برخی از کاربرهای عملی مفهوم این نوع پایداری جایگزین پایداری مجانبی شده است. تاکنون سه روش و رهیافت کلی برای پایدارسازی زمان-محدود سیستم‌های غیرخطی ارائه شده است. راه کار اول، استفاده از روش شبیه لیاپانوف مستقیم<sup>۱۱</sup> می‌باشد که نقطه ضعف اصلی این روش، عدم وجود هیچ نوع الگوریتم سیستماتیکی برای پیدا کردنتابع کاندیدای لیاپانوف است [۳۶، ۳۷، ۴۰، ۴۲-۴۴]. راه کار دوم، استفاده از روش

## ۱- مقدمه

در سال‌های اخیر، زیردریابی‌های خودکار<sup>۱</sup> کاربردهای متعددی در زمینه‌های مختلف از جمله سفرهای اکتشافی به اعماق اقیانوس‌ها، نقشه‌برداری برای نصب نصب لوله‌های انتقال نفت و گاز، عیوب‌یابی کابل‌های برق و انتقال داده در کف دریاهای، ماموریت‌های دفاعی و نظامی و .... دارند. با توجه کاربردهای ذکر شده، هدایت و کنترل انواع زیردریابی‌های خودکار به منظور مانور و حرکت در امتداد مسیر دلخواه به مسئله‌ای جالب و چالش برانگیز در جامعه مهندسی کنترل تبدیل شده است. با توجه به اینگیزش بیان شده، مقالات و مطالعات پژوهشی قابل توجهی در این زمینه به چاپ رسیده‌اند که در ادامه مورور مختصراً بر روی شاخص‌ترین آن‌ها [۱-۳۰] انجام می‌شود. شایان ذکر است که در بسیاری از این مراجع [۱-۳۰] زیردریابی‌های مورد مطالعه از نظر تعداد درجه‌های آزادی و تعداد ورودی‌های کنترلی (تعداد بالک و تراستر)<sup>۲</sup> یکسان نیستند و تمرکز اصلی در این مورور بر روی روش کنترلی مورد استفاده در مراجع می‌باشد.

مراجع [۱-۳] با درنظر گرفتن مدل دینامیکی خطی برای انواع زیردریابی‌ها از کنترل کننده‌های خطی PD و PID برای کنترل و هدایت زیردریابی استفاده کردند. مقالات [۴-۶] از روش کنترل غیرخطی پسگام (گام به عقب)<sup>۳</sup> برای طراحی ورودی‌های کنترلی چندین نوع زیردریابی بهره گرفته‌اند تا هدف ریدیابی را برآورده سازند. مرجع [۷] با استفاده از روش کنترل بهینه، گشتاورهای ورودی را برای یک نوع زیردریابی پیشنهاد داده است و در حین فرآیند طراحی از مدل خطی شده استفاده کرد. مراجع [۸-۱۱] روش کنترلی مد لغزشی<sup>۴</sup> را برای طراحی ورودی‌های کنترلی زیردریابی به منظور تحقق هدف مانور در مسیر دلخواه به کار برده‌اند. روش کنترلی لیاپانوف مستقیم توسعه مقادله‌های [۱۲-۱۴] برای قرار دادن زیردریابی در امتداد مسیر مورد نظر استفاده شده است. دو مرجع [۱۶، ۱۵] با بهره گیری از روش کنترل تطبیقی به حل مسئله ریدیابی زیردریابی‌ها پرداخته است. تعدادی از مراجع [۱۷-۲۷] از روش‌های ترکیبی برای طراحی ورودی‌های کنترلی انواع زیردریابی بهره جسته‌اند که عمدۀ این روش‌ها عبارتند از: روش کنترل مد لغزشی-فازی [۱۷]، روش تلفیقی-فازی به همراه شبکه‌های عصبی مصنوعی [۱۸-۲۱]، روش ترکیبی پسگام-تطبیقی [۲۵، ۲۶]، روش ترکیبی کنترل مد لغزشی-تطبیقی [۲۷، ۲۶]. با توجه به مرور انجام شده بر روی مراجع [۱۷-۲۷] می‌توان به این نتیجه رسید که چندین نقطه ضعف مشترک در اغلب این مراجع وجود دارد که به صورت فهرست‌وار در زیر آورده شده‌اند.

(الف) در نظر گرفتن مدل خطی شده‌ی زیردریابی به جای مدل غیرخطی آن. بنابراین در چنین حالتی فقط پایداری مجانبی محلی تضمین

<sup>6</sup> Uniformly Ultimately Bounded

<sup>7</sup> Finite-time stability

<sup>8</sup> 6-DOF autonomous underwater vehicle

<sup>9</sup> Nonsingular terminal sliding mode control

<sup>10</sup> Direct Lyapunov-like

<sup>1</sup> Autonomous underwater vehicle

<sup>2</sup> Thruster

<sup>3</sup> Backstepping method

<sup>4</sup> Sliding mode control

<sup>5</sup> Uncertainties

می‌شود. سپس، چندین لم کاربردی در ارتباط با پایدارسازی سیستم‌های غیرخطی مرور می‌شوند که این لم‌ها در سرتاسر مقاله مورد استفاده قرار خواهد گرفت.

**تعییف ۱.** سیستم غیرخطی رابطه (۱) را در نظر بگیرید که از  $n$  متغیر حالت تشکیل شده و دارای نقطه تعادل  $\mathbf{0}$  است.

$$\dot{x} = f(x) \text{ with } f(\mathbf{0}) = \mathbf{0}, x \in \Gamma \subseteq \mathbb{R}^n \quad (1)$$

در این رابطه،  $\Gamma \rightarrow \mathbb{R}^n$  تابع برداری پیوسته و  $\Gamma \subseteq \mathbb{R}^n$  همسایگی باز از نقطه تعادل  $\mathbf{0}$  است. فرض کنید که سیستم برای شرط اولیه دلخواه  $x_0$  دارای پاسخ یکتاً  $x(t, x_0)$  است. در صورتی که دو شرط (الف) و (ب) برای نقطه تعادل  $\mathbf{0} = x$  برقرار باشند، آن را یک نقطه تعادل پایدار زمان-محدود محلی<sup>۴</sup> گویند.

(الف) نقطه تعادل  $\mathbf{0} = x$  باید در ناحیه<sup>۵</sup>  $\Gamma$ ، پایدار مجانبی محلی<sup>۶</sup> باشد که  $\Gamma \subseteq \mathbb{R}^n$  یک همسایگی باز حول نقطه تعادل است.

(ب) برای هر  $x_0$ ، زمان محدود همگرایی  $T_{conv}(x_0): \mathbb{R} \setminus \{\mathbf{0}\} \rightarrow [0, \infty)$  وجود داشته باشد که رابطه (۲) برآورده شود.

$$\lim_{t \rightarrow T_{conv}(x_0)} x(t, x_0) = \mathbf{0} \quad \forall t \geq T_{conv}(x_0) \quad (2)$$

در صورتی که  $\Gamma = \mathbb{R}^n$  باشد، آنگاه نقطه تعادل  $\mathbf{0} = x$  بایدار زمان-محدود سرتاسری<sup>۷</sup> است. ■■■

**لم ۱.** سیستم غیرخطی رابطه (۱) را با نقطه تعادل  $\mathbf{0} = x$  و بردار شرط اولیه  $x_0$ ، در نظر بگیرید. این نقطه، پایدار زمان-محدود محلی است اگر تابع اسکالری مثبت پیوسته مشتق پذیر  $\{0\} \cup \mathbb{R}^+ \rightarrow \mathbb{R}^+$ :  $\Gamma \rightarrow V(x)$  چنان وجود داشته باشد که یکی از دو نامساوی‌های (۳) یا (۴) برآورده شوند. زمان‌های محدود همگرایی  $T_{conv}(x_0)$  مرتبط با هر کدام از نامساوی‌ها نیز در رابطه‌های (۳) و (۴) آورده شده‌اند. لازم به ذکر است که شرایط  $\rho_1 > 0$ ،  $\rho_2 < 1$  و  $\rho_3 > 0$  برای ضرایب حقیقی رابطه (۱) را بخواهند.

$$\begin{aligned} \dot{V}(x) + \rho_1 V^{\rho_2}(x) &\leq 0, \forall x \in \Gamma \setminus \{\mathbf{0}\} \\ T_{conv}(x_0) &\leq (\rho_1(1 - \rho_2))^{-1} V^{1-\rho_2}(x_0) \end{aligned} \quad (3)$$

و

$$\dot{V}(x) + \rho_1 V^{\rho_2}(x) + \rho_3 V(x) \leq 0, \forall x \in \Gamma \setminus \{\mathbf{0}\} \quad (4)$$

$T_{conv}(x_0) \leq (\rho_3(1 - \rho_2))^{-1} \left( \ln \left( \frac{\rho_3 V^{1-\rho_2}(x_0) + \rho_1}{\rho_1} \right) \right)$   
چنانچه  $\Gamma = \mathbb{R}^n$  و تابع  $\{0\} \cup \mathbb{R}^+$ :  $\Gamma \rightarrow \mathbb{R}^+$  به صورت شعاعی یکران<sup>۸</sup> باشد، آنگاه نقطه تعادل  $\mathbf{0} = x$ ، پایدار زمان-محدود سرتاسری خواهد بود. ■■■

**لم ۲.** سیستم غیرخطی رابطه (۱) را با نقطه تعادل  $\mathbf{0} = x$  و بردار شرط اولیه  $x_0$ ، در نظر بگیرید. این نقطه تعادل، پایدار زمان-محدود محلی است اگر تابع اسکالری مثبت پیوسته مشتق پذیر  $\{0\} \cup \mathbb{R}^+ \rightarrow V(x)$  و اعداد  $\rho_5 = 1 + \rho_4 > 0$ ،  $\rho_1 > 0$ ،  $\rho_2 > 1 - 0.5\rho_3$  و  $\rho_3 > 1$  حقیقی<sup>۹</sup> باشند که نامساوی  $\dot{V}(x) + \rho_1 V^{\rho_4}(x) + 0.5(\rho_3)^{-1} V^{1-\rho_5}(x) \leq 0$  برآورده شود. علاوه بر این، تمامی متغیرهای حالت سیستم غیرخطی برای زمان‌های  $t \geq T_{conv}$  دقیقاً به صفر همگرا می‌شوند. هم‌چنین نامساوی  $T_{conv}(\sqrt{\rho_1 \rho_2}) \leq \rho_3$  کران بالای زمان محدود همگرایی را ارائه می‌دهد و این کران بالا، برخلاف رابطه‌های (۳) و (۴) به شرایط اولیه

هموژنی است که فقط قابلیت اعمال و کاربرد برای سیستم‌های غیرخطی هموژن<sup>۱</sup> با درجه هموژنی منفی را دارد. در پایدارسازی زمان-محدود با این روش، فقط وجود زمان محدود همگرایی اثبات می‌شود و هیچ رابطه‌ای برای تخمین و محاسبه زمان محدود همگرایی ارائه نمی‌شود<sup>۲</sup>. راه کار سوم، استفاده از روش کنترل مدلغزشی ترمینال غیرتکین است که برگرفته شده از روش کنترل مدلغزشی معمولی بوده ولی سطوح لغزشی غیرخطی جایگزین سطوح لغزشی خطی شده‌اند. یکی از مهمترین ویژگی‌های روش سوم، مقاوم بودن در برابر نامعینی‌های سیستم، اغتشاش و تغییرات پارامترهای سیستم است<sup>۳</sup>. یکی از نقاط قوت روش سوم آن است که رابطه‌ای (البته محافظه کارانه) را به منظور تخمین زمان محدود موردنیاز برای هدف پایدارسازی زمان-محدود مشخص می‌سازد. بنابراین با استناد به مطالب بیان شده، در این مقاله از روش کنترل مدلغزشی ترمینال غیرتکین برای طراحی ورودی‌های زیردریایی استفاده می‌شود. این مقاله در مقایسه با مقالات مشابه در زمینه هدایت و کنترل زیردریایی، دارای چندین نوآوری و برتری شاخص است که در زیر به صورت فهرست‌وار به آن‌ها اشاره می‌شود.

(الف) درنظر گرفتن مدل جامع ترکیبی برای زیردریایی شش درجه آزادی به همراه نامعینی‌ها که با ساده‌سازی، قابلیت توصیف کشتی‌های سه

درجه آزادی و حتی مدل بازوی‌های ریاضی را داراست.

(ب) طراحی سه دسته متمایز از ورودی‌های کنترلی با توانایی هدایت و قرار دادن زیردریایی شش درجه آزادی در امتداد مسیر موردنظر بعد از گذشت مدت زمان محدود. شایان ذکر است که مسیر موردنظر می‌تواند حرکت در عمق یا انواع صفحات دویبعدی یا سه‌بعدی با جهت‌گیری‌های گوناگون باشد.

(پ) استخراج روابط تعیین‌کننده زمان‌های محدود موردنیاز و قابلیت تنظیم این زمان‌ها با استفاده از پارامترهای آزاد موجود در ورودی‌های کنترلی.

(ت) ارائه اثبات‌های کاملاً دقیق و تحلیلی برای پایداری سیستم حلقة‌بسته زیردریایی شش درجه آزادی.

در ادامه، ساختار مقاله به شرح زیر سازماندهی و نوشتۀ شده است. در بخش دوم مقاله، قضایای کاربردی مرتبط با پایداری زمان-محدود مرور می‌شوند. در بخش سوم، مدل سینماتیکی و دینامیکی زیردریایی شش درجه آزادی ارائه می‌گردد. بخش چهارم مقاله به بیان مسئله ریدایی زمان-محدود و فرمول‌بندی آن اختصاص می‌یابد. در بخش پنجم مقاله که شامل سه زیربخش جداگانه است به طراحی ورودی‌های کنترلی زمان-محدود مقاوم زیردریایی پرداخته می‌شود. نتایج شبیه‌سازی‌های کامپیوتی بر روی مدل زیردریایی NPS AUV II در بخش ششم آورده می‌شوند. بخش هفتم به نتیجه‌گیری کلی و بیان کارهای آینده اختصاص می‌یابد.

## ۲- مقدمات ریاضی مرتبط با تحلیل پایداری و پایدارسازی زمان-محدود

در این بخش از مقاله، ابتدا تعریف پایداری زمان-محدود ارائه

<sup>4</sup> Globally finite time stable

<sup>5</sup> Radially unbounded

<sup>1</sup> Homogenous nonlinear system

<sup>2</sup> Locally finite time stable

<sup>3</sup> locally asymptotically stable

و  $x_2$  برای زمان‌های  $t \geq T_{conv}$  به صفر همگرا خواهد شد.

$$\begin{aligned} g(x_1, x_2) &= -|x_2|^{\rho_1} \text{sign}(x_2) - |\ell|^{\rho_1(2-\rho_1)^{-1}} \text{sign}(\ell) \\ \ell &= x_1 + (2 - \rho_1)^{-1} |x_2|^{2-\rho_1} \text{sign}(x_2) \end{aligned} \quad (11)$$

کران بالای  $T_{conv}$  از نامساوی رابطه (۱۲) تخمین زده می‌شود و در این رابطه،  $\rho_2$  و  $\rho_3$  دو ثابت حقیقی اختیاری با شرایط  $1 < \rho_2 < 0$  و  $0 < \rho_3 < 1$  می‌باشند. ■ [۳۶]

$$\begin{aligned} T_{conv} &\leq (\varpi(1 - \rho_1))^{-1} (3 - \rho_1) (V(x_1(0), x_2(0)))^{\frac{1-\rho_1}{3-\rho_1}} \\ V(x_1, x_2) &= \frac{2-\rho_1}{3-\rho_1} |\ell(x_1, x_2)|^{\frac{3-\rho_1}{2-\rho_1}} + \rho_2 x_2 \ell(x_1, x_2) + \frac{\rho_3}{3-\rho_1} |x_2|^{3-\rho_1} \\ \varpi &= -\max_{(x_1, x_2) \in \Xi} \dot{V}(x_1, x_2) \text{ with } \Xi = \{(x_1, x_2) : V(x_1, x_2) = 1\} \end{aligned} \quad (12)$$

**لم ۶.** فرض کنید که  $a_k, k = 1, 2, 3, \dots, n$  اعداد حقیقی اختیاری و  $\sigma_1$  و  $\sigma_2$  دو عدد حقیقی مثبت با شرایط  $1 < \sigma_1 \leq \sigma_2 < 0$  باشند.

آنگاه دو نامساوی رابطه (۱۳) همواره برقرار هستند. ■ [۴۴]

$$\begin{aligned} (i): (\sqrt{\sum_{k=1}^n |a_k|^2})^{\sigma_1} &\leq (\sum_{k=1}^n |a_k|)^{\sigma_1} \leq n^{\sigma_1-1} \sum_{k=1}^n |a_k|^{\sigma_1} \\ (ii): \sqrt{(\sum_{k=1}^n |a_k|^2)^{1+\sigma_2}} &\leq \sum_{k=1}^n |a_k|^{1+\sigma_2} \end{aligned} \quad (13)$$

**لم ۷.** فرض کنید که  $A \in \mathbb{R}^{n \times n}$  یک ماتریس حقیقی مثبت معین<sup>۱</sup> و  $A^{-1} \in \mathbb{R}^{n \times n}$  معکوس این ماتریس باشد، آنگاه دو نامساوی رابطه (۱۴)، نمادهای  $(A)$ ،  $\lambda_{max}(A)$ ،  $\lambda_{min}(A)$  و  $\|A\|$  همواره برقرار می‌باشند. در رابطه (۱۴)، نمادهای  $(A)$ ،  $\lambda_{max}(A^{-1})$ ،  $\lambda_{min}(A^{-1})$  و  $\|A^{-1}\|$  می‌باشند. نمادهای  $\|A\|$  و  $\|A^{-1}\|$  توصیف کننده نرم اقلیدسی ماتریس‌های  $A$  و  $A^{-1}$  هستند و با استفاده از روابط = [۶۴] و  $\|A\| = \sqrt{\lambda_{max}((A^{-1})^T A^{-1})}$  و  $\|A^{-1}\| = \sqrt{\lambda_{max}(A^T A)}$  محاسبه می‌شوند. ■ .

$$\begin{aligned} (i): \lambda_{min}(A) &\leq \|A\| \leq \lambda_{max}(A) \\ (ii): \lambda_{min}(A^{-1}) &\leq \|A^{-1}\| \leq \lambda_{max}(A^{-1}) \end{aligned} \quad (14)$$

### ۳- توصیف مدل جامع ترکیبی زیردریایی شش درجه آزادی

در این بخش از مقاله، مدل زیردریایی با شش درجه آزادی که دارای ۶ ورودی (چهار بالک و دو تراستر) است، ارائه می‌شود. در واقع ورودی‌های کنترلی شامل سه گشتاور و سه نیرو می‌باشند که این ورودی‌ها توسط چهار بالک و دو تراستر به زیردریایی اعمال می‌شوند. مطالعه مدل مانور و حرکت زیردریایی، شامل دو توصیف سینماتیکی و توصیف دینامیکی می‌باشد.

توصیف سینماتیکی فقط به جنبه‌های هندسی حرکت و ارتباط میان دستگاه‌های مختصات می‌پردازد و توصیف دینامیکی، نیروهای موثر برای حرکت را مورد بررسی قرار می‌دهد. برای بیان معادلات سینماتیکی و دینامیکی حاکم بر مانور زیردریایی از دو دستگاه مختصات مرجع بدنه-ثابت<sup>۲</sup> و مرجع زمین-ثابت<sup>۳</sup> استفاده می‌شود. در دستگاه مختصات مرجع بدنه-ثابت، معمولاً مبدا مختصات منطبق با مرکز ثقل زیردریایی<sup>۴</sup> درنظر گرفته می‌شود و در دستگاه مختصات مرجع زمین-ثابت، مبدا مختصات توسط سطح اقیانوس تعیین می‌گردد.

شکل ۱، شماتیکی از یک زیردریایی را همراه با دو دستگاه مرجع

سیستم غیرخطی وابستگی ندارد. در صورتی که  $\Gamma = \mathbb{R}^n$  باشد و تابع  $V(x) : \Gamma \rightarrow \mathbb{R}^+ \cup \{0\}$  به صورت شعاعی بیکران باشد، آنگاه نقطه تعادل

$\alpha = 0$  پایدار زمان-محدود سرتاسری است. ■ [۶۲، ۶۱]

**لم ۳.** سیستم غیرخطی مرتبه اول (اسکالری) را به فرم رابطه (۵) درنظر بگیرید که دارای نقطه تعادل اسکالری  $= x$  است. در رابطه (۵)،  $\rho_1$  و  $\rho_2$  دو عدد حقیقی مثبت و پارامترهای ثابت  $\rho_3, \rho_4, \rho_5$  و  $\rho_6$  اعداد صحیح فرد با شرایط  $\rho_4 > \rho_3 > \rho_2 > \rho_1 > 0$  و  $\rho_6 > \rho_5 > \rho_4$  می‌باشند.

$$\dot{x} = -\rho_1 x^{\rho_3} - \rho_2 x^{\rho_5} \quad \text{with } x \in \mathbb{R} \text{ and } x(0) = x_0 \quad (5)$$

برای سیستم رابطه (۵)، اثبات شده است که نقطه تعادل  $x = 0$  به صورت زمان-محدود سرتاسری پایدار است و با شروع از هر شرط اولیه دلخواه  $x_0$ ، متغیر  $x(t)$  برای زمان‌های  $t \geq T_{conv}$  به صفر همگرا می‌شود. رابطه (۶)، تخمینی از کران بالای  $T_{conv}$  را ارائه می‌دهد.

$$T_{conv} \leq (\rho_4(\rho_3 - \rho_4))^{-1} + \rho_6(\rho_2(\rho_6 - \rho_5))^{-1} \quad (6)$$

علاوه بر این، چنانچه چهار عدد صحیح فرد  $\rho_3, \rho_4, \rho_5$  و  $\rho_6$  شرط  $\frac{\rho_6(\rho_3 - \rho_4)}{\rho_4(\rho_6 - \rho_5)} \leq 1$  را نیز برآورده سازند، می‌توان کران بالای  $T_{conv}$  را از رابطه (۷) نیز تخمین زد. در واقع، رابطه (۷) دارای محافظه کاری کمتری نسبت به رابطه (۶) در تخمین کران بالای زمان همگایی است [۴۱، ۳۸، ۳۲]. ■ .

$$T_{conv} \leq \left( \frac{\rho_4}{\rho_1(\rho_3 - \rho_4)} + \frac{\rho_6}{(\rho_6 - \rho_5)\sqrt{\rho_1\rho_2}} \right) \arctan\left(\sqrt{\frac{\rho_1}{\rho_2}}\right) \quad (7)$$

**لم ۴.** سیستم غیرخطی مرتبه دوم رابطه (۸) را با دو متغیر حالت  $x_1$  و  $x_2$  درنظر بگیرید که  $(x_1, x_2) g(x_1, x_2)$  یانگر ورودی کنترلی سیستم می‌باشد. اگر ورودی کنترلی  $(x_1, x_2) = -\rho_1 \text{sign}(x_1) - \rho_2 \text{sign}(x_2)$  به سیستم (۸) اعمال شود و دو پارامتر اختیاری  $\rho_1$  و  $\rho_2$  شرط  $\rho_1 > \rho_2 > 0$  را برآورده سازند، آنگاه پایداری زمان-محدود سرتاسری سیستم غیرخطی (۸) تضمین می‌شود.

$$\dot{x}_1 = x_2 \text{ and } \dot{x}_2 = g(x_1, x_2) \quad (8)$$

علاوه بر این، هر دو متغیر  $x_1$  و  $x_2$  برای زمان‌های  $t \geq T_{conv}$  به صفر همگرا می‌شوند. رابطه (۹)، تخمینی از کران بالای  $T_{conv}$  را ارائه می‌دهد.

$$\begin{aligned} T_{conv} &\leq 2(\min(\rho_4))^{-1} \sqrt{V(x_1(0), x_2(0))} \\ V(x_1, x_2) &= \begin{cases} 0.25(\rho_4)^2(h(x_1, x_2, \rho_3, \rho_5))^2 & \text{if } x_1 x_2 \neq 0 \\ 0.25(\bar{\rho})^2 x_2^2 & \text{if } x_1 = 0 \\ 0.25|x_1| & \text{if } x_2 = 0 \end{cases} \end{aligned} \quad (9)$$

$h = (\rho_3)^{-1} x_2 \text{sign}(x_1) + \rho_5 \sqrt{|x_1| + 0.5(\rho_3)^{-1} x_2^2}$  در رابطه (۹)، ثابت  $\bar{\rho}$  چنان انتخاب می‌شود که نامساوی  $(\sqrt{2(\rho_1 + \rho_2)})^{-1} < \bar{\rho} < (\sqrt{2(\rho_1 - \rho_2)})^{-1}$  برقرار باشد و در ادامه، ثابت‌های  $\rho_3, \rho_4$  و  $\rho_5$  از طریق رابطه (۱۰) محاسبه می‌شوند [۶۳]. ■ .

$$\begin{aligned} \rho_3 &= \rho_1 + \rho_2 \text{sign}(x_1 x_2) \\ \rho_4 &= \sqrt{0.5\rho_3} \sqrt{2\rho_3 \bar{\rho} - 1} \\ \rho_5 &= \sqrt{2(\rho_3)^{-1}} (\sqrt{2\rho_3} \bar{\rho} - 1)^{-1} \text{sign}(x_1 x_2) \end{aligned} \quad (10)$$

**لم ۵.** سیستم غیرخطی مرتبه دوم رابطه (۸) را درنظر بگیرید. اگر ورودی کنترلی  $(x_1, x_2) g(x_1, x_2)$  به فرم رابطه (۱۱) انتخاب شود که  $\rho_1$  ثابت حقیقی دلخواه با شرط  $1 < \rho_1 < 0$  است، آنگاه سیستم غیرخطی (۸) دارای پایداری زمان-محدود سرتاسری خواهد بود و متغیرهای حالت  $x_1$

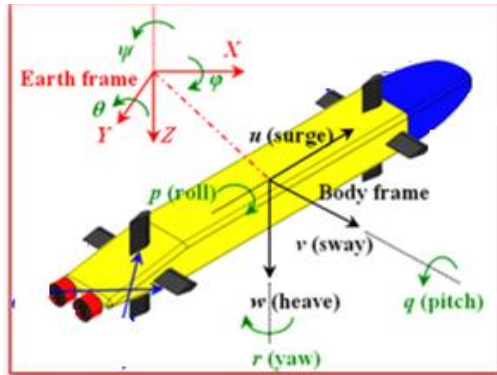
<sup>3</sup> Earth-fixed reference frame

<sup>4</sup> Center of gravity of AUV

<sup>۱</sup> Positive definite matrix

<sup>۲</sup> Body-fixed reference frame

رابطه (۱۷)، معادلات سینماتیک معکوس مرتبط با زیردریایی شش درجه آزادی را توصیف می‌کند که در این رابطه از معکوس ماتریس‌های تبدیل  $J_2(\eta_2)$  و  $J_1(\eta_2)$  استفاده شده است.



شکل ۱. شماتیک یک زیردریایی شش درجه آزادی به همراه دو دستگاه مختصات مرجع بدن-ثابت و زمین-ثابت [۶۵].

$$\begin{aligned} \nu &= J^{-1}(\eta_2) \dot{\eta}, \quad \nu = \begin{bmatrix} J_1^{-1}(\eta_2) & \mathbf{0}_{3 \times 3} \\ \mathbf{0}_{3 \times 3} & J_2^{-1}(\eta_2) \end{bmatrix} \dot{\eta}, \\ J_1^{-1}(\eta_2) &= J_1^T(\eta_2), J_2^{-1}(\eta_2) \neq J_2^T(\eta_2) \\ J_2^{-1}(\eta_2) &= \begin{bmatrix} 1 & 0 & -s_\theta \\ 0 & c_\phi & c_\theta s_\phi \\ 0 & -s_\phi & c_\theta c_\phi \end{bmatrix} \end{aligned} \quad (۱۷)$$

با توجه به معادلات لاغرانژ-اویلر، معادلات دینامیکی مرتبط با زیردریایی شش درجه آزادی به فرم ماتریسی رابطه (۱۸)، قابل بیان است.

$$M\ddot{\nu} + C(\nu)\dot{\nu} + D(\nu)\nu + G(\eta) = \tau + \tau_{dis} \quad (۱۸)$$

در رابطه (۱۸)، ماتریس اینرسی  $M \in \mathbb{R}^{6 \times 6}$  شامل جرم اضافه شده<sup>۲</sup>،  $C(\nu) \in \mathbb{R}^{6 \times 6}$  ماتریس کوریولیس و گریز از مرکز شامل جرم اضافه شده<sup>۳</sup>،  $D(\nu) \in \mathbb{R}^{6 \times 6}$  ماتریس میرایی<sup>۴</sup>،  $G(\eta) \in \mathbb{R}^6$  بردار نیروها و ممان‌های گرانشی<sup>۵</sup>،  $\tau \in \mathbb{R}^6$  بردار نیروها و گشتاورهای وارد بر زیردریایی هستند. فرم گسترش‌یافته‌ی ماتریس‌های  $M$ ،  $C(\nu)$ ،  $D(\nu)$  و  $G(\eta)$  به ترتیب در رابطه‌های (۱۹) الی (۲۳) ارائه می‌شوند.  $\tau_{dis} \in \mathbb{R}^6$  بردار نامعینی و اغتشاش‌های موجود در مدل دینامیکی زیردریایی است که برای این بردار، فرض ۱ (که در ادامه آورده خواهد شد) همواره برقرار است. باید به این نکته توجه داشت که نامعینی‌های موجود در مدل زیردریایی می‌توانند ناشی از مواردی همچون دینامیک‌های مدل نشده، دقیق نبودن پارامترها و ثابت‌های فیزیکی مدل، محدودیت‌های غیرخطی (اشباع و ناحیه مرده<sup>۶</sup> و ...) عملکرها (بالک‌ها و تراسته) و نیروهای ناشناخته وارد از اقیانوس بر زیردریایی باشند.

لازم به ذکر است که برای انواع زیردریایی‌ها با درجه‌های آزادی مختلف، ماتریس‌های  $M$ ،  $C(\nu)$ ،  $D(\nu)$  و  $G(\eta)$  مختصر شده و با ابعاد مناسب بیان می‌شوند. ماتریس  $M$  به صورت  $M = M_{RB} + M_A$  قابل بیان است که  $M_A \in \mathbb{R}^{6 \times 6}$  ماتریس اینرسی جسم صلب<sup>۷</sup> و  $M_{RB}$  ماتریس جرم اضافه شده می‌باشد. رابطه (۱۹)، دو ماتریس  $M_A$  و  $M_{RB}$

ذکر شده به تصویر می‌کشد که دارای چهار بالک و دو تراسته است. لازم به ذکر است که این شکل مستقیماً از مرجع [۶۵] انتخاب شده است. نمادهای مورد استفاده برای توصیف متغیرهای مدل زیردریایی بر اساس استاندارد SNAME<sup>۸</sup> در جدول ۱ آورده شده است.

جدول ۱. توصیف نمادهای مورد استفاده در مدل زیردریایی مطابق با [۶۶، ۶۷] SNAME

عنوان نمادها	راستای محور $z$	راستای محور $x$	راستای محور $y$	راستای محور $w$
سرعت‌های خطی	$r$	$v$	$u$	$\omega$
سرعت‌های زاویه‌ای		$q$	$p$	
نیروهای ورودی	$F_Z$	$F_Y$	$F_X$	
گشتاورهای ورودی	$\tau_N$	$\tau_M$	$\tau_K$	
موقعیت‌ها	$z$	$y$	$x$	
زاویه‌های اویلر	$\psi$	$\theta$	$\phi$	

در ادامه برای بیان روابط مرتبط با مدل زیردریایی شش درجه آزادی از سه بردار  $\eta \in \mathbb{R}^6$  و  $\nu \in \mathbb{R}^6$  و  $\tau \in \mathbb{R}^6$  استفاده خواهد شد که  $\eta$  بردار موقعیت و جهت گیری زیردریایی مطابق با دستگاه مختصات مرجع زمین-ثابت،  $\nu$  بردار سرعت‌های خطی و زاویه‌ای زیردریایی مطابق با دستگاه مختصات مرجع بدن-ثابت و  $\tau$  بردار توصیف نیروها و گشتاورهای اعمالی بر زیردریایی مطابق با دستگاه مختصات مرجع بدن-ثابت می‌باشد. رابطه (۱۵)، این سه بردار را با همراه با درایه‌های مربوطه نشان می‌دهد.

$$\begin{aligned} \eta_1 &= [x \ y \ z]^T \in \mathbb{R}^3, \eta_2 = [\phi \ \theta \ \psi]^T \in \mathbb{R}^3 \\ \nu_1 &= [u \ v \ \omega]^T \in \mathbb{R}^3, \nu_2 = [p \ q \ r]^T \in \mathbb{R}^3 \\ \tau_1 &= [F_X \ F_Y \ F_Z]^T \in \mathbb{R}^3, \tau_2 = [\tau_K \ \tau_M \ \tau_N]^T \in \mathbb{R}^3 \\ \eta &= [\eta_1^T \ \eta_2^T]^T, \nu = [\nu_1^T \ \nu_2^T]^T, \tau = [\tau_1^T \ \tau_2^T]^T \end{aligned} \quad (۱۵)$$

رابطه (۱۶)، ارتباط بین بردار سرعت خطی زیردریایی  $\nu$  (بیان شده در دستگاه مختصات مرجع بدن-ثابت) را با میزان تغییرات بردار موقعیت و جهت گیری زیردریایی  $\eta$  (بیان شده در دستگاه مختصات مرجع زمین-ثابت) نشان می‌دهد.

در واقع، رابطه (۱۶) معادلات سینماتیکی را برای مدل زیردریایی شش درجه آزادی بیان می‌کند. لازم به ذکر است که در رابطه (۱۶)  $J_1(\eta_2) \in \mathbb{R}^{3 \times 3}$  و  $J_2(\eta_2) \in \mathbb{R}^{3 \times 3}$  ماتریس‌های تبدیل از دستگاه مختصات مرجع بدن-ثابت به دستگاه مختصات مرجع زمین-ثابت می‌باشد. نماد  $\mathbf{0}_{3 \times 3}$  کار رفته در رابطه (۱۶) به مفهوم ماتریس مرتعی  $3 \times 3$  با درایه‌های صفر می‌باشد. لازم به ذکر است که نمادهای  $c_\theta$ ،  $c_\psi$ ،  $s_\theta$ ،  $s_\psi$  به ترتیب  $s_\phi$  به ترتیب  $\sin \phi$ ،  $\sin \psi$ ،  $\cos \theta$ ،  $\cos \psi$ ،  $\cos \phi$ ،  $\cos \theta$  می‌باشند.

$$\begin{aligned} \dot{\eta} &= J(\eta_2)\nu, \quad \dot{\eta} = \begin{bmatrix} J_1(\eta_2) & \mathbf{0}_{3 \times 3} \\ \mathbf{0}_{3 \times 3} & J_2(\eta_2) \end{bmatrix} \begin{bmatrix} \nu_1 \\ \nu_2 \end{bmatrix}, \\ \dot{\eta}_1 &= J_1(\eta_2)\nu_1, \quad \dot{\eta}_2 = J_2(\eta_2)\nu_2 \\ J_1(\eta_2) &= \begin{bmatrix} c_\theta c_\psi & s_\phi s_\theta c_\psi & -c_\phi s_\psi & s_\theta c_\phi c_\psi + s_\phi s_\psi \\ c_\theta s_\psi & s_\phi s_\theta s_\psi & c_\phi c_\psi & c_\phi s_\theta s_\psi - s_\phi c_\psi \\ -s_\theta & s_\phi c_\theta & c_\phi c_\theta & c_\phi c_\theta \\ 0 & 0 & 0 & 0 \end{bmatrix} \\ J_2(\eta_2) &= \begin{bmatrix} 1 & s_\phi \tan \theta & c_\phi \tan \theta \\ 0 & c_\phi & -s_\phi \\ 0 & s_\phi \sec \theta & c_\phi \sec \theta \end{bmatrix} \end{aligned} \quad (۱۶)$$

<sup>۱</sup>Society of Naval Architects and Marine Engineers

<sup>۲</sup>Inertia matrix (including added mass)

<sup>۳</sup>Matrix of Coriolis and centrifugal (including added mass)

<sup>۴</sup>Damping matrix

<sup>۵</sup>Vector of gravitational forces and moments

<sup>۶</sup>Dead-zone

<sup>۷</sup>Rigid body inertia matrix

$$\mathbf{D}(\boldsymbol{\nu}) = \mathbf{D}_0 - \mathbf{D}_n(\boldsymbol{\nu}), \quad \mathbf{D}_0 = -\text{diag}\{X_u, Y_v, Z_\omega, K_p, M_q, N_r\} \\ \mathbf{D}_n(\boldsymbol{\nu}) = \text{diag}\{X_{u|u}|u|, Y_{v|v}|v|, Z_{\omega|\omega}|q|, K_{p|p}|p|, M_{q|q}|q|, N_{r|r}|r|\} \quad (22)$$

بردار  $\mathbf{G}(\boldsymbol{\eta})$  توسط رابطه (۲۳) معروفی و توصیف می‌شود که درایه‌های این بردار، بیانگر نیروها و گشتاورهای رانشی و گرانشی وارد بر زیردریایی شش درجه آزادی می‌باشند.

$$\mathbf{G}(\boldsymbol{\eta}) = \begin{bmatrix} (W - B)s_\theta \\ -(W - B)s_\phi c_\theta \\ -(W - B)c_\phi c_\theta \\ -(y_G W - y_B B)c_\phi c_\theta + (z_G W - z_B B)s_\phi c_\theta \\ (x_G W - x_B B)c_\phi c_\theta + (z_G W - z_B B)s_\theta \\ -(x_G W - x_B B)s_\phi c_\theta + (y_G W - y_B B)s_\theta \end{bmatrix} \quad (23)$$

در رابطه (۲۳)، ضوابط ثابت  $W$  و  $B$  به ترتیب وزن زیردریایی و رانش زیردریایی<sup>۱</sup> را توصیف می‌کنند. هم‌چنین نمادهای  $z_B$  و  $y_B$  و مختصات مرکز رانش زیردریایی را بیان می‌کنند که به صورت فرم برداری  $r_B = r_B = [x_B \ y_B \ z_B]^T \in \mathbb{R}^3$  نیز نمایش داده می‌شوند. بردار  $\tau = \tau [x_B \ y_B \ z_B]^T \in \mathbb{R}^6$  یانگر نیروها و گشتاورهایی است که توسط چهار بالک‌ها و دو تراسترهای زیردریایی اعمال می‌شوند و عامل اصلی حرکت و مانور زیردریایی در جهت‌ها و زوایای مختلف می‌باشد. این بردار در واقع نقش بردار ورودی‌های کنترلی مرتبط با زیردریایی را دارد. برای مانور و حرکت زیردریایی در مسیر دلخواه، بردار کنترلی  $\tau$  باید به طور مناسب طراحی و به زیردریایی اعمال گردد. همان‌طوری که در بالا ذکر شد،  $\tau_{dis} \in \mathbb{R}^6$  بردار نامعینی مرتبط با مدل زیردریایی است، که شامل ترم‌های نامعینی جمعی سازگار<sup>۲</sup> می‌باشد. در ادامه فرض می‌کنیم که کران بالایی برای نرم اقلیدسی بردار  $\tau_{dis}$  وجود دارد. این کران بالا به صوت فرض ۱ آورده شده است. شایان ذکر است که فرض ۱، معقول و منطقی بوده و با مسائل فیزیکی و عملی مرتبط با زیردریایی سازگاری دارد.

**فرض ۱.** نرم اقلیدسی بردار نامعینی  $\tau_{dis} \in \mathbb{R}^6$  به صورت رابطه (۲۴) کراندار است و ضوابط  $\beta_h$  و  $\alpha_h$  اعداد ثابت معلوم و مشخص (در اختیار) می‌باشند. توجه داشته باشید که ترم  $(\|\boldsymbol{\eta}\|, \|\dot{\boldsymbol{\eta}}\|)$ ، تابعی نامحدود است.

$$\|\boldsymbol{\tau}_d\| \leq \sum_{h=0}^n \alpha_h \|\boldsymbol{\eta}\|^h + \sum_{h=1}^n \beta_h \|\dot{\boldsymbol{\eta}}\|^h = \chi(\|\boldsymbol{\eta}\|, \|\dot{\boldsymbol{\eta}}\|) \quad (24)$$

با مشتق‌گیری از (۱۶)،  $\dot{\boldsymbol{\nu}}$  به صورت  $\dot{\boldsymbol{\nu}} = J^{-1}(\boldsymbol{\eta})(\dot{\boldsymbol{\eta}} - J(\boldsymbol{\eta})J^{-1}(\boldsymbol{\eta})\dot{\boldsymbol{\eta}})$  حاصل می‌شود. با جایگذاری بردار اخیر  $\dot{\boldsymbol{\nu}}$  و رابطه (۱۷) در رابطه (۱۸)، مدل جامع ترکیبی زیردریایی در دستگاه مختصات مرجع زمین-ثابت به فرم رابطه (۲۵) نتیجه می‌گردد. از این جهت به این مدل حاصله، مدل جامع ترکیبی اطلاق می‌شود که هم توصیف سینماتیکی و هم توصیف دینامیکی زیردریایی را شامل می‌شود.<sup>۶۶</sup>

$$\begin{aligned} M_\eta(\boldsymbol{\eta})\dot{\boldsymbol{\eta}} + C_\eta(\boldsymbol{\nu}, \boldsymbol{\eta})\dot{\boldsymbol{\eta}} + D_\eta(\boldsymbol{\nu}, \boldsymbol{\eta})\dot{\boldsymbol{\eta}} + G_\eta(\boldsymbol{\eta}) &= J^{-T}(\boldsymbol{\eta})(\boldsymbol{\tau} + \boldsymbol{\tau}_{dis}) \\ M_\eta(\boldsymbol{\eta}) &= J^{-T}(\boldsymbol{\eta})M J^{-1}(\boldsymbol{\eta}) \\ C_\eta(\boldsymbol{\nu}, \boldsymbol{\eta}) &= J^{-T}(\boldsymbol{\eta})[C(\boldsymbol{\nu}) - M J^{-1}(\boldsymbol{\eta})J(\boldsymbol{\eta})]J^{-1}(\boldsymbol{\eta}) \\ D_\eta(\boldsymbol{\nu}, \boldsymbol{\eta}) &= J^{-T}(\boldsymbol{\eta})D(\boldsymbol{\nu})J^{-1}(\boldsymbol{\eta}) \\ G_\eta(\boldsymbol{\eta}) &= J^{-T}(\boldsymbol{\eta})G(\boldsymbol{\eta}) \end{aligned} \quad (25)$$

در رابطه (۲۵)، نماد  $J^{-T}$  به مفهوم ماتریس معکوس تراشه‌ده ماتریس  $J$  می‌باشد. در مراجع [۶۶، ۶۷] نشان داده می‌شود که ماتریس‌های  $M_\eta(\boldsymbol{\eta})$ ،  $D_\eta(\boldsymbol{\nu}, \boldsymbol{\eta})$  و  $C_\eta(\boldsymbol{\nu}, \boldsymbol{\eta})$  دارای ویژگی‌ها و خاصیت‌های بیان شده توسط رابطه (۲۶) هستند. در رابطه (۲۶)، ویژگی اول به مفهوم متقارن بودن و

معرفی می‌کند. درایه‌های هر دو ماتریس  $\mathbf{M}_A$  و  $\mathbf{M}_{RB}$  دارای مقادیر ثابتی هستند که با توجه به مشخصات فیزیکی مدل زیردریایی تعیین می‌شوند. در رابطه (۱۹)،  $m$  بیانگر جرم زیردریایی، بردار  $\mathbf{r}_G = [x_G \ y_G \ z_G]^T \in \mathbb{R}^3$  توصیف کننده مختصات مرکز نقل زیردریایی و  $\mathbf{I}_0 \in \mathbb{R}^{3 \times 3}$  نشان دهنده ماتریس اینرسی زیردریایی است که شامل تعدادی مقادیر ثابت مشخص می‌باشد. تمام درایه‌های ماتریس  $\mathbf{M}_A$  اعداد ثابتی بوده و با توجه به مدل و نوع زیردریایی تعیین می‌شوند.

$$\mathbf{M}_{RB} = \begin{bmatrix} m\mathbf{I}_{3 \times 3} & -mS(\mathbf{r}_G) \\ mS(\mathbf{r}_G) & \mathbf{I}_0 \end{bmatrix}, \quad \mathbf{r}_G = \begin{bmatrix} x_G \\ y_G \\ z_G \end{bmatrix}, \\ S(\mathbf{r}_G) = \begin{bmatrix} 0 & -z_G & y_G \\ z_G & 0 & -x_G \\ -y_G & x_G & 0 \end{bmatrix}, \quad \mathbf{I}_0 = \begin{bmatrix} I_x & -I_{xy} & -I_{xz} \\ -I_{xy} & I_y & -I_{yz} \\ -I_{xz} & -I_{yz} & I_z \end{bmatrix} \quad (19)$$

$$\mathbf{M}_A = - \begin{bmatrix} X_u & X_v & X_\omega & X_p & X_q & X_r \\ Y_u & Y_v & Y_\omega & Y_p & Y_q & Y_r \\ Z_u & Z_v & Z_\omega & Z_p & Z_q & Z_r \\ K_u & K_v & K_\omega & K_p & K_q & K_r \\ M_u & M_v & M_\omega & M_p & M_q & M_r \\ N_u & N_v & N_\omega & N_p & N_q & N_r \end{bmatrix}$$

مشابه با ماتریس  $\mathbf{M}$ ، ماتریس  $\mathbf{C}(\boldsymbol{\nu})$  نیز از حاصل جمع دو ماتریس  $\mathbf{C}_A \in \mathbb{R}^{6 \times 6}$  و  $\mathbf{C}_{RB} \in \mathbb{R}^{6 \times 6}$  تشکیل شده است که این دو ماتریس به ترتیب توسط رابطه‌های (۲۰) و (۲۱) معرفی می‌شوند.

$$\mathbf{C}_{RB} = \begin{bmatrix} \mathbf{0}_{3 \times 3} & -mS(\boldsymbol{\nu}_1) - mS(\boldsymbol{\nu}_2)S(\mathbf{r}_G) \\ -mS(\boldsymbol{\nu}_1) + mS(\mathbf{r}_G)S(\boldsymbol{\nu}_2) & -S(\mathbf{I}_0 \boldsymbol{\nu}_2) \end{bmatrix}, \\ S(\boldsymbol{\nu}_1) = \begin{bmatrix} 0 & -\omega & v \\ \omega & 0 & -u \\ -v & u & 0 \end{bmatrix}, \quad S(\boldsymbol{\nu}_2) = \begin{bmatrix} 0 & -r & q \\ r & 0 & -p \\ -q & p & 0 \end{bmatrix} \quad (20)$$

$$S(\mathbf{r}_G) = \begin{bmatrix} 0 & -z_G & y_G \\ z_G & 0 & -x_G \\ -y_G & x_G & 0 \end{bmatrix}$$

۶

$$\mathbf{C}_A = \begin{bmatrix} 0 & 0 & 0 & 0 & -\Delta_3 & \Delta_2 \\ 0 & 0 & 0 & \Delta_3 & 0 & -\Delta_1 \\ 0 & 0 & 0 & -\Delta_2 & \Delta_1 & 0 \\ 0 & -\Delta_3 & \Delta_2 & 0 & -\Delta_3 & \Delta_2 \\ \Delta_3 & 0 & -\Delta_1 & \Delta_3 & 0 & -\Delta_1 \\ -\Delta_2 & \Delta_1 & 0 & -\Delta_2 & \Delta_1 & 0 \end{bmatrix} \quad (21)$$

$$\begin{cases} \Delta_1 = X_u u + X_v v + X_\omega \omega + X_p p + X_q q + X_r r \\ \Delta_2 = X_v u + Y_v v + Y_\omega \omega + Y_p p + Y_q q + Y_r r \\ \Delta_3 = X_\omega u + Y_\omega v + Z_\omega \omega + Z_p p + Z_q q + Z_r r \\ \Lambda_1 = X_p u + Y_p v + Z_p \omega + K_p p + K_q q + K_r r \\ \Lambda_2 = X_q u + Y_q v + Z_q \omega + K_q p + M_q q + M_r r \\ \Lambda_3 = X_r u + Y_r v + Z_r \omega + K_r p + M_r q + N_r r \end{cases}$$

ماتریس  $\mathbf{D}(\boldsymbol{\nu})$  به فرم حاصل جمع دو ماتریس میرایی خطی  $\mathbf{D}_0 \in \mathbb{R}^{6 \times 6}$  و ماتریس میرایی غیرخطی  $\mathbf{D}_n(\boldsymbol{\nu})$  می‌باشد و رابطه (۲۲)، این دو ماتریس ذکر شده را توصیف می‌کند. لازم به ذکر است، نماد  $\{ \}$  در رابطه (۲۲) به مفهوم ماتریس مرتعی قطری با بعد مناسب است که علائم درون نماد  $\{ \}$ ، درایه‌های روی قطر اصلی ماتریس مربوطه را نشان می‌دهند. در رابطه (۲۲)، پارامترهای  $X_u, Y_v, Z_\omega, K_p, M_q, N_r$  اعداد ثابت مرتبط با مدل زیردریایی هستند که متناسب با نوع، ابعاد و مشخصات فیزیکی هر زیردریایی تعیین می‌شوند.

<sup>2</sup> Matched additive uncertainty

<sup>1</sup> Buoyancy

$$\begin{aligned} \dot{\mathbf{e}}_{odd} &= \mathbf{e}_{even} \\ \mathbf{e}_{even} &= -\mathbf{M}_\eta^{-1}(\mathbf{C}_\eta \dot{\boldsymbol{\eta}} + \mathbf{D}_\eta \boldsymbol{\eta} + \mathbf{G}_\eta) + \mathbf{M}_\eta^{-1} \mathbf{J}^{-T} (\tau + \boldsymbol{\tau}_{dis}) - \ddot{\boldsymbol{\eta}}_d \end{aligned} \quad (28)$$

با توجه به سیستم دینامیکی خطاهای ریدیابی زیردریایی (۲۸)، می‌توان هدف ریدیابی زمان-محدود مسیرهای دلخواه را به فرم رابطه (۲۹) بازنویسی کرد. در واقع، رابطه (۲۹) این نکته را بیان می‌کند که برای برآورده ساختن هدف ریدیابی زمان-محدود ذکر شده در بالا، ورودی‌های کنترلی زیردریایی باید چنان طراحی گردند که بعد از گذشت مدت زمان محدود قابل تنظیم  $T_{total}$  هر دو بردار خطاهای ریدیابی  $\mathbf{e}_{odd}$  و  $\mathbf{e}_{even}$  به صفر همگرا شوند و برای زمان‌های  $t \geq T_{total}$  این دو بردار همواره صفر باشند. در ادامه، برآورده شدن هدف ریدیابی زیردریایی مسیرهای معادل و هم‌ارز با فراهم شدن شرایط رابطه (۲۹) می‌باشد.

$$\begin{aligned} \lim_{t \rightarrow T_{total}} \mathbf{e}_{odd} &= \mathbf{0}, \text{ and } \mathbf{e}_{odd} = \mathbf{0} \text{ for } \forall t \geq T_{total} \\ \lim_{t \rightarrow T_{total}} \mathbf{e}_{even} &= \mathbf{0}, \text{ and } \mathbf{e}_{even} = \mathbf{0} \text{ for } \forall t \geq T_{total} \end{aligned} \quad (29)$$

در ادامه، با استفاده از روش کنترل مد لغزشی ترمینال غیرتکین، سه کلاس و دسته از ورودی‌های کنترلی برای زیردریایی شش درجه آزادی طراحی می‌شوند که هر دسته و کلاس از ورودی‌های کنترلی پیشنهادی می‌توانند هدف ریدیابی زمان-محدود مقاوم مسیرهای دلخواه را برای زیردریایی فراهم سازند.

## ۵- طراحی ورودی‌های کنترلی زمان-محدود مقاوم برای زیردریایی شش درجه آزادی

در این بخش از مقاله، روش کارا و مفید کنترل مد لغزشی ترمینال غیرتکین [۴۷-۶۰] برای تضمین ریدیابی زمان-محدود مقاوم به کار برده و تعیین داده می‌شود. علت انتخاب و استفاده از روش کنترل مد لغزشی ترمینال غیرتکین، ویژگی‌های ذاتی و مزایای این روش می‌باشد که در زیر به طور فهرست وار و خلاصه به بخشی از آنها اشاره می‌گردد [۵۵-۵۸].

(الف) این روش کنترل غیرخطی، در برابر اختشاش‌های بیرونی وارد بر زیردریایی (از طرف امواج آقianoس) و نامعینی‌های موجود در مدل زیردریایی (از جمله دینامیک‌های مدل نشده و عدم قطعیت در پارامترهای ثابت و فیزیکی زیردریایی) مقاوم می‌باشد و با وجود همه‌ی عوامل ذکر شده، می‌تواند پایداری سیستم حلقه‌بسته زیردریایی را تضمین دهد.

(ب) این روش کنترلی در مقایسه با روش‌های دیگر کنترل غیرخطی دارای پاسخ گذاری سریعتر است [۵۱، ۵۸-۶۰].

(پ) این روش، یکی از محدود روش‌های کنترل غیرخطی است که می‌تواند علاوه بر پایداری مجانبی، پایداری زمان-محدود سرتاسری را برای سیستم‌های غیرخطی فراهم سازد [۵۳-۵۵، ۵۱].

(ت) این روش، رابطه‌ای را برای محاسبه و تخمین زمان محدود همگرایی مورد نیاز ارائه می‌دهد. این رابطه مذکور ارتباط میان پارامترهای اختیاری موجود در ورودی‌های کنترلی را با زمان محدود مورد نیاز برای برآورده شدن هدف ریدیابی نشان می‌دهد. در واقع، می‌توان از این رابطه برای تنظیم و کاهش زمان محدود همگرایی استفاده کرد و به نوعی کیفیت پاسخ گذاری سیستم حلقه‌بسته زیردریایی را بهبود بخشد [۵۱، ۵۵، ۵۹].

مثبت معین بودن ماتریس ( $\boldsymbol{\eta}$ )،  $\mathbf{M}_\eta(\boldsymbol{\eta})$  دوم به مفهوم شبه‌متقارن بودن ماتریس ( $\mathbf{v}, \boldsymbol{\eta}$ ) -  $2\mathbf{C}_\eta(\mathbf{v}, \boldsymbol{\eta}) - \dot{\mathbf{M}}_\eta(\boldsymbol{\eta})$  و ویژگی سوم به مفهوم مثبت معین بودن ماتریس ( $\mathbf{D}_\eta(\mathbf{v}, \boldsymbol{\eta})$  است.

$$\begin{aligned} (i): \mathbf{M}_\eta(\boldsymbol{\eta}) &= \mathbf{M}_\eta^T(\boldsymbol{\eta}) > \mathbf{0}, \quad \forall \boldsymbol{\eta} \in \mathbb{R}^6, \\ (ii): \mathbf{L}^T [\dot{\mathbf{M}}_\eta(\boldsymbol{\eta}) - 2\mathbf{C}_\eta(\mathbf{v}, \boldsymbol{\eta})] \mathbf{L} &= \mathbf{0}, \quad \forall \boldsymbol{\eta}, \mathbf{v}, \mathbf{L} \in \mathbb{R}^6 \\ (iii): \mathbf{D}_\eta(\mathbf{v}, \boldsymbol{\eta}) &> \mathbf{0}, \quad \forall \boldsymbol{\eta} \in \mathbb{R}^6, \mathbf{v} \in \mathbb{R}^6 \end{aligned} \quad (26)$$

**یادآوری ۱.** معادلات جامع ترکیبی (۲۵) می‌توانند رفتار سینماتیکی و دینامیکی وسایلی که بر روی سطح دریا حرکت می‌کنند (مانند کشتی) را نیز توصیف کنند. برای این توصیف ذکر شده، درایه‌های بردار  $\boldsymbol{\eta}$  به صورت  $\psi^T = [\mathbf{x} \ \mathbf{y}]^T$  و درایه‌های بردار سرعت خطی کشی در مختصات مرجع بدنه ثابت به صورت  $\mathbf{v} = [\mathbf{u} \ \mathbf{v} \ \mathbf{r}]^T$  می‌باشد. علاوه بر این، ابعاد ماتریس‌های ( $\mathbf{M}_\eta(\boldsymbol{\eta})$ ،  $\mathbf{D}_\eta(\mathbf{v}, \boldsymbol{\eta})$ ،  $\mathbf{C}_\eta(\mathbf{v}, \boldsymbol{\eta})$  و  $\mathbf{G}_\eta(\boldsymbol{\eta})$  به طور مناسب تغییر خواهند کرد.

## ۴- بیان مسئله ریدیابی زمان-محدود زیردریایی شش درجه آزادی

در این بخش از مقاله، زیردریایی شش درجه آزادی رابطه (۲۵) را در نظر گرفته و مسئله ریدیابی زمان-محدود مقاوم<sup>۱</sup> مسیر مورد نظر را برای این زیردریایی، به فرم روابط ریاضی فرمول‌بندی می‌کنیم. مسیر مورد نظر به فرم برداری  $\boldsymbol{\eta}_d(t) = [x_d \ y_d \ z_d \ \phi_d \ \theta_d \ \psi_d]^T$  انتخاب می‌شود که  $\boldsymbol{\eta}_d(t)$  می‌تواند مسیر مانور از قبل طراحی شده برای زیردریایی یا مسیر زیردریایی دشمن در حال فرار باشد. در مسئله ریدیابی، بردار ورودی‌های کنترلی زیردریایی  $\boldsymbol{\eta} \in \mathbb{R}^6$  باشد به گونه‌ای طراحی شود که بردار موقعیت و جهت‌گیری زیردریایی (یعنی بردار  $\boldsymbol{\eta}(t)$  بعد از گذشت مدت زمان محدود قابل تنظیم  $T_{total}$  به طور کاملاً دقیق و بدون وجود هیچ خطاهای حالت ماندگاری به بردار مسیرهای دلخواه  $\boldsymbol{\eta}_d$  میل کند. باید توجه داشت که فرض ۲ برای بردار مسیرهای دلخواه  $\boldsymbol{\eta}_d(t)$  برقرار است.

**یادآوری ۲.** بردار مسیرهای مورد نظر  $\boldsymbol{\eta}_d(t)$  همواره مشخص و در اختیار بوده و تمام درایه‌های آن توابعی هستند که حداقل تا دو بار پیوسته و مشتق‌پذیر می‌باشند. به عبارت دیگر، همواره دو بردار  $\dot{\boldsymbol{\eta}}_d(t)$  و  $\ddot{\boldsymbol{\eta}}_d(t)$  وجود دارند و می‌توانند در طراحی ورودی‌های کنترلی زیردریایی مورد استفاده قرار گیرند.

برای فرمول‌بندی مسئله ذکر شده، دو بردار خطاهای ریدیابی  $\mathbf{e}_{odd} \in \mathbb{R}^6$  و  $\mathbf{e}_{even} \in \mathbb{R}^6$  به صورت رابطه (۲۷) تعریف می‌شوند.

$$\begin{aligned} \mathbf{e}_{odd} &= [e_1 \ e_3 \ e_5 \ e_7 \ e_9 \ e_{11}]^T \\ &= [x - x_d \ y - y_d \ z - z_d \ \phi - \phi_d \ \theta - \theta_d \ \psi - \psi_d]^T \\ \mathbf{e}_{even} &= [e_2 \ e_4 \ e_6 \ e_8 \ e_{10} \ e_{12}]^T \\ &= [\dot{x} - \dot{x}_d \ \dot{y} - \dot{y}_d \ \dot{z} - \dot{z}_d \ \dot{\phi} - \dot{\phi}_d \ \dot{\theta} - \dot{\theta}_d \ \dot{\psi} - \dot{\psi}_d]^T \end{aligned} \quad (27)$$

با درنظر گرفتن دو بردار خطاهای ریدیابی تعريف شده و استفاده از معادلات جامع زیردریایی (۲۵)، معادلات دینامیکی خطاهای ریدیابی زیردریایی به صورت رابطه (۲۸) نتیجه می‌شوند. شایان ذکر است که سیستم دینامیکی خطاهای ریدیابی رابطه (۲۸) از شش زیرسیستم غیرخطی مرتبه دوم تشکیل شده است که این زیرسیستم‌ها همگی با هم اندرکنش دارند.

<sup>۱</sup> Robust finite-time tracking

بزرگترین مقدار ویژه ماتریس  $(\eta)^{-1}J^{-T}(\eta)$  می‌باشد.

$$\begin{aligned}\tau &= J^T(\eta)M_\eta(\eta)(\tau_{eq} + \tau_r) \\ \tau_{eq} &= M_\eta^{-1}(C_\eta\dot{\eta} + D_\eta\ddot{\eta} + G_\eta) + \dot{\eta}_d - l_1\text{sign}(e_{odd}) - l_2\text{sign}(e_{even}) \\ \tau_r &= -\xi\text{sig}'(s) - \mu\text{sig}(s) - \lambda_{max}(M_\eta^{-1}J^{-T}(\eta))\chi\text{sign}(s) \\ \xi &= [\xi_1 \quad \xi_2 \quad \dots \quad \xi_6]^T, \mu = [\mu_1 \quad \mu_2 \quad \dots \quad \mu_6]^T \\ \text{sign}(s) &= [\text{sign}(s_1) \quad \text{sign}(s_2) \quad \dots \quad \text{sign}(s_6)]^T \\ \mu\text{sig}(s) &= [\mu_1|s_1|\text{sign}(s_1) \quad \mu_2|s_2|\text{sign}(s_2) \quad \dots \quad \mu_6|s_6|\text{sign}(s_6)]^T \\ \xi\text{sig}'(s) &= [\xi_1|s_1|\text{sign}(s_1) \quad \xi_2|s_2|\text{sign}(s_2) \quad \dots \quad \xi_6|s_6|\text{sign}(s_6)]^T\end{aligned}\quad (31)$$

در رابطه (۳۱)  $\gamma, \mu_j, j = 1, 2, \dots, 6$   $\gamma$  ثابت‌های حقیقی اختیاری با شرایط  $1 < \gamma < 0$ ,  $0 < \mu_j < \infty$  بوده و توسط طراح و کاربر تعیین می‌شوند. در ادامه، قضیه ۱ و اثبات آن نشان می‌دهند که ورودی‌های کنترلی پیشنهادی رابطه‌های (۳۰) و (۳۱) قادرند تا هدف ریدیابی زمان-محدود توصیف شده توسط رابطه (۲۹) را برای زیردیابی شش درجه آزادی برآورده سازند.

**قضیه ۱.** زیردیابی شش درجه آزادی رابطه (۲۵) را همراه با فرض‌های ۱ و ۲ در نظر بگیرید. چنانچه ورودی‌های کنترلی پیشنهادی رابطه‌های (۳۰) و (۳۱) به این زیردیابی اعمال شوند، آنگاه هدف ریدیابی زمان-محدود مقاوم (برآورده شده و بردار موقعیت و جهت گیری زیردیابی)  $(t)$  بعد از گذشت مدت زمان محدود  $T_s = T_r + T_s$  به طور کاملاً دقیق (بدون هیچ گونه خطای حالت ماندگار) به بردار مسیرهای دلخواه و مورد نظر  $\eta_a(t)$  همگرا می‌شوند. علاوه بر این، برای زمان‌های  $t > T_{total}$  است که دو زمان محدود  $T_r$  و  $T_s$  به ترتیب توسط نامساوی‌های (۳۲) و (۳۳) تخمین زده می‌شوند. در واقع این دو نامساوی، کران‌های بالایی را برای دو زمان  $T_r$  و  $T_s$  می‌دهند که به شرایط اولیه زیردیابی و پارامترهای آزاد موجود در ورودی‌های کنترلی وابسته هستند.

$$T_r \leq (\mu_{min}(1-\gamma))^{-1}(\ln(\mu_{min}\|s(0)\|^{1-\gamma} + \xi_{min}) - \ln \xi_{min}) \quad (32)$$

در رابطه (۳۲)،  $\mu_{min}$  و  $\xi_{min} \triangleq \min_j(\mu_j)$  و  $\mu_{min} \triangleq \min_j(\mu_j)$  در  $j = 1, 2, \dots, 6$  با  $\xi_{min} \triangleq \min_j(\xi_j)$  تعریف شده‌اند.

$$T_s = \max_j(T_j) \text{ with } j = 1, 2, \dots, 6.$$

$$\begin{aligned}jT_s &\leq 2 \left( \min(l_{4j}) \right)^{-1} \sqrt{\Psi_j(e_{2j-1}(t = T_r), e_{2j}(t = T_r))} \\ \Psi_j &= \begin{cases} 0.25(l_{4j})^2(h_j)^2 & \text{if } e_{2j-1}e_{2j} \neq 0 \\ 0.25(l_j)^2e_{2j}^2 & \text{if } e_{2j-1} = 0 \\ 0.25|e_{2j-1}| & \text{if } e_{2j} = 0 \end{cases} \quad (33) \\ h_j &= (l_{3j})^{-1}e_{2j}\text{sign}(e_{2j-1}) + l_{5j}\sqrt{|e_{2j-1}| + 0.5(l_{3j})^{-1}e_{2j}^2} \\ \left(\sqrt{2(l_{1j} + l_{2j})}\right)^{-1} &< l_j < \left(\sqrt{2(l_{1j} + l_{2j})}\right)^{-1} \text{ در رابطه (۳۳)، ل}_j \text{ از} \\ \text{انتخاب می‌شوند. همچنین } l_{4j}, l_{3j} \text{ و } l_{5j} \text{ توسط رابطه} & \quad (34) \\ \text{تعیین می‌شوند.} \blacksquare &\end{aligned}$$

$$\begin{aligned}l_{3j} &= l_{1j} + l_{2j}\text{sign}(e_{2j-1}e_{2j}) \\ l_{4j} &= \sqrt{0.5l_{3j}} \left| \sqrt{2l_{3j}} l_j - 1 \right| \\ l_{5j} &= \sqrt{2(l_{3j})^{-1}} \left( \sqrt{2l_{3j}} l_j - 1 \right)^{-1} \text{ sign}(e_{2j-1}e_{2j}) \quad (34)\end{aligned}$$

**اثبات قضیه ۱.** این اثبات از دو مرحله تشکیل شده است. در مرحله اول اثبات می‌شود که ورودی‌های کنترلی پیشنهادی (۳۱) می‌توانند وجود

(ث) برخلاف تمامی روش‌های مرتبط با کنترل خطی، این روش کنترلی نیازی به خطی‌سازی روابط دینامیکی زیردیابی حول نقطه تعادل نداشته و از همان مدل غیرخطی همراه با وجود نامعینی‌ها استفاده می‌کند [۴۷-۵۴، ۵۲].

(ج) تحقیق فیزیکی و پیاده‌سازی عملی این روش کنترلی غیرخطی ساده و ارزان است.

برای طراحی با استفاده از روش کنترل مدل لغزشی ترمیتال غیرتکین از تعیین مفاهیم پایه و اویله کنترل مدل لغزشی استفاده می‌شود که شامل دو مرحله (الف): تعریف سطح لغزشی مناسب با هدف پایدارسازی دینامیک مدل لغزشی و (ب): طراحی ورودی‌های کنترلی به منظور هدایت و رساندن سیستم غیرخطی به دینامیک مدل لغزشی (تصمین وجود مدل لغزشی) می‌باشد [۴۷-۵۳، ۵۱]. در روش پیشنهادی، بردار سطح لغزشی غیرخطی چنان تعیین می‌شوند که دینامیک مدل لغزشی سیستم خطای ریدیابی نه تنها به صورت مجاذبی پایدار باشد، بلکه دارای پایداری زمان محدود همراه با زمان نشست محدود قابل تنظیم  $T_s$  باشد. ورودی‌های کنترلی روش پیشنهادی نیز به صورتی طراحی می‌گردند تا قادر باشند که همه خطاهای ریدیابی را در زمان محدود  $T_r$  بر روی سطح لغزشی غیرخطی قرار دهند یا به عبارت دیگر ورودی‌های کنترلی باید بتوانند در زمان محدود  $T_r$  وجود دینامیک مدل لغزشی تعریف شده برای سیستم خطای ریدیابی را تضمین کنند. بنابراین می‌توان انتظار داشت که بعد از زمان محدود کلی  $T_{total}$  مجموع دو زمان ذکر شده است ( $T_{total} = T_s + T_r$ )، هدف ریدیابی زمان-محدود مقاوم برای زیردیابی شش درجه آزادی (۲۵) برآورده گردد [۴۷-۵۱، ۶-۲۹].

در ادامه، به منظور فراهم ساختن هدف ریدیابی زمان-محدود (۲۹)، سه دسته از ورودی‌های کنترلی برای مدل زیردیابی شش درجه آزادی طراحی می‌گردند. بنابراین این قسمت از مقاله، از سه زیربخش تشکیل شده است که هر زیربخش به معرفی یک دسته از ورودی‌های کنترلی پیشنهادی و اثبات پایداری زمان-محدود سرتاسری سیستم حلقة‌بسته‌ی زیردیابی با استفاده آن دسته از ورودی‌ها اختصاص می‌یابد.

## ۱-۵ طراحی ورودی‌های کنترلی زمان-محدود مقاوم برای زیردیابی شش درجه آزادی

برای این دسته از ورودی‌های کنترلی، بردار سطح لغزشی غیرخطی  $s(t) = [s_1 \quad s_2 \quad s_3 \quad s_4 \quad s_5 \quad s_6]^T \in \mathbb{R}^6$  تعریف می‌شود. در این رابطه،  $l_{i,j}$  ثابت‌های  $i = 1, 2, \dots, 6$ ,  $j = 1, 2, \dots, 6$  مثبت حقیقی اختیاری با شرایط  $l_{1,j} > l_{2,j} > l_{3,j} > l_{4,j} > l_{5,j} > l_{6,j} > 0$  هستند که توسط کاربر تعیین می‌شوند.

$$\begin{aligned}s(t) &= e_{even} + \int_0^t l_1\text{sign}(e_{odd}(\zeta))d\zeta + \int_0^t l_2\text{sign}(e_{even}(\zeta))d\zeta \\ l_1 &= [l_{1_1} \quad l_{1_2} \quad l_{1_3} \quad l_{1_4} \quad l_{1_5} \quad l_{1_6}]^T \\ l_2 &= [l_{2_1} \quad l_{2_2} \quad l_{2_3} \quad l_{2_4} \quad l_{2_5} \quad l_{2_6}]^T \\ l_1\text{sign}(e_{odd}) &= [l_{1_1}\text{sign}(e_1) \quad l_{1_2}\text{sign}(e_3) \quad \dots \quad l_{1_6}\text{sign}(e_{11})]^T \\ l_2\text{sign}(e_{even}) &= [l_{2_1}\text{sign}(e_2) \quad l_{2_2}\text{sign}(e_4) \quad \dots \quad l_{2_6}\text{sign}(e_{12})]^T\end{aligned}\quad (30)$$

قوانین کنترلی مقاوم برای رساندن خطاهای ریدیابی به سطح لغزشی تعریف شده، به فرم رابطه (۳۱) پیشنهاد می‌گردد که در این رابطه،  $(\|\eta\|, \|\dot{\eta}\|, \|\ddot{\eta}\|)$  همان کران بالایی بردار نامعینی‌هاست و قبلًا در فرض ۱ معرفی شده است. در رابطه (۳۱)، نماد  $(M_\eta^{-1}J^{-T}(\eta))$  به مفهوم  $\lambda_{max}(M_\eta^{-1}J^{-T}(\eta))$

می‌توان نتیجه گرفت که  $(V(t) = \dot{s}(t))$  به صفر همگرا می‌شوند و برای زمان‌های  $t \geq T_r$  وجود دینامیک مدل غزشی  $\dot{s}(t) = \ddot{s}(t) = 0$  تضمین می‌گردد. علاوه بر این،  $T_r$  با رابطه<sup>(۳۲)</sup> تخمین زده می‌شود. در اینجا اثبات ادعای گام اول به پایان می‌رسد.

بنابراین در مرحله دوم برای زمان‌های  $t \geq T_r$ ، دینامیک مدل غزشی  $\dot{s}(t) = \ddot{s}(t) = 0$  به صورت رابطه<sup>(۳۴)</sup> نتیجه می‌شود که از شش زیرسیستم غیرخطی مرتبه دوم مستقل (بدون اندرکنش) تشکیل شده است.

$$\begin{cases} \dot{e}_{2j-1} = e_{2j} \\ \dot{e}_{2j} = -l_1 \text{sign}(e_{2j-1}) - l_2 \text{sign}(e_{2j}) \end{cases} \quad (۳۹)$$

with  $j = 1, 2, \dots, 6$ . for  $t \geq T_r$

حال با مقایسه میان هر کدام از شش زیرسیستم غیرخطی رابطه<sup>(۳۹)</sup> با سیستم غیرخطی مرتبه دوم موجود در لم<sup>(۴)</sup> (رابطه<sup>(۸)</sup>، پایداری زمان-محدود سرتاسری دینامیک مدل غزشی<sup>(۳۹)</sup>) نتیجه می‌گردد و همگی خطاهای ریدیابی<sup>(۶, ۲, \dots, 6)</sup>  $e_{2j-1}, e_{2j}, j = 1, 2, \dots, 6$  که بر روی دینامیک مدل غزشی  $\dot{s}(t) = 0$  قرار گرفته‌اند، بعد از زمان  $T_s$  دقیقاً به صفر واقعی همگرا می‌شوند. در انتها نیز با جمع‌بندی این دو مرحله، می‌توان ادعا کرد که با اعمال ورودی‌های کنترلی<sup>(۳۰)</sup> و<sup>(۳۱)</sup>، هدف ریدیابی زمان-محدود<sup>(۲۹)</sup> بعد از گذشت مدت  $T_{total} = T_r + T_s$  بروآورده خواهد شد و برای زمان‌های  $t > T_{total}$  زیردیابی شش درجه آزادی<sup>(۲۵)</sup> بر روی مسیر مورد نظر مانور می‌دهد. برای اثبات ادعای مطرح شده در مرحله اول، کاندیدای لیپانوف<sup>(۲۶)</sup>  $V(t) = 0.5\|s\|^2 = 0.5s^T s$  انتخاب می‌شود که مشتق این تابع به فرم  $\dot{V}(t) = s^T(t)\dot{s}(t)$  است. با مشتق‌گیری از<sup>(۳۰)</sup>،  $\dot{s}(t) = \dot{e}_{even} + l_1 \text{sign}(e_{odd}) + l_2 \text{sign}(e_{even})$  نتیجه می‌شود. با جایگذاری<sup>(۲۸)</sup>  $\dot{e}_{even}$  از رابطه<sup>(۲۸)</sup> و سپس جایگذاری بردار<sup>(۲۹)</sup> از رابطه<sup>(۳۱)</sup>، ترم برداری<sup>(۲۷)</sup>  $\dot{s}(t) = (\tau_r - M_\eta^{-1}J^{-T}\tau_{dis})\dot{s}(t)$  حاصل می‌گردد. حال با جایگذاری<sup>(۲۷)</sup>  $\dot{s}(t)$  در مشتق تابع کاندیدای لیپانوف<sup>(۲۶)</sup>  $\dot{V}(t) = s^T(t)\dot{s}(t)$  و استفاده از ترم برداری<sup>(۲۹)</sup> (مطابق با رابطه<sup>(۳۱)</sup>، ترم اسکالری<sup>(۳۵)</sup> به صورت رابطه<sup>(۳۵)</sup> نتیجه می‌شود).

دینامیک مدل غزشی<sup>(۱)</sup>  $s(t) = \dot{s}(t) = 0$  را در زمان محدود  $T_r$  تضمین دهنده. در این مرحله نشان داده می‌شود که ورودی‌های کنترلی پیشنهادی  $t \geq T_r$  توانند سیستم دینامیکی خطاهای ریدیابی<sup>(۲۸)</sup> را برای زمان‌های به دینامیک مدل غزشی  $\dot{s}(t) = \ddot{s}(t) = 0$  تبدیل کنند. در مرحله دوم اثبات، نشان داده می‌شود که دینامیک مدل غزشی  $\dot{s}(t) = \ddot{s}(t) = 0$  پایداری زمان-محدود سرتاسری است و تمامی خطاهای ریدیابی<sup>(۲۶)</sup>  $s(t) = e_{2j-1}, e_{2j}, j = 1, 2, \dots, 6$  که بر روی دینامیک مدل غزشی  $\dot{s}(t) = 0$  قرار گرفته‌اند، بعد از زمان  $T_s$  دقیقاً به صفر واقعی همگرا می‌شوند. در انتها نیز با جمع‌بندی این دو مرحله، می‌توان ادعا کرد که با اعمال ورودی‌های کنترلی<sup>(۳۰)</sup> و<sup>(۳۱)</sup>، هدف ریدیابی زمان-محدود<sup>(۲۹)</sup> بعد از گذشت مدت  $T_{total} = T_r + T_s$  بروآورده خواهد شد و برای زمان‌های  $t > T_{total}$  زیردیابی شش درجه آزادی<sup>(۲۵)</sup> بر روی مسیر مورد نظر مانور می‌دهد. برای اثبات ادعای مطرح شده در مرحله اول، کاندیدای لیپانوف<sup>(۲۶)</sup>  $V(t) = 0.5\|s\|^2 = 0.5s^T s$  انتخاب می‌شود که مشتق این تابع به فرم  $\dot{V}(t) = s^T(t)\dot{s}(t)$  است. با مشتق‌گیری از<sup>(۳۰)</sup>،  $\dot{s}(t) = \dot{e}_{even} + l_1 \text{sign}(e_{odd}) + l_2 \text{sign}(e_{even})$  نتیجه می‌شود. با جایگذاری<sup>(۲۸)</sup>  $\dot{e}_{even}$  از رابطه<sup>(۲۸)</sup> و سپس جایگذاری بردار<sup>(۲۹)</sup> از رابطه<sup>(۳۱)</sup>، ترم برداری<sup>(۲۷)</sup>  $\dot{s}(t) = (\tau_r - M_\eta^{-1}J^{-T}\tau_{dis})\dot{s}(t)$  حاصل می‌گردد. حال با جایگذاری<sup>(۲۷)</sup>  $\dot{s}(t)$  در مشتق تابع کاندیدای لیپانوف<sup>(۲۶)</sup>  $\dot{V}(t) = s^T(t)\dot{s}(t)$  و استفاده از ترم برداری<sup>(۲۹)</sup> (مطابق با رابطه<sup>(۳۱)</sup>، ترم اسکالری<sup>(۳۵)</sup> به صورت رابطه<sup>(۳۵)</sup> نتیجه می‌شود).

$$\dot{V} = -\sum_{j=1}^6 \xi_j |s_j|^{\gamma+1} - \sum_{j=1}^6 \mu_j |s_j|^2 - \chi \lambda_{max}(M_\eta^{-1}J^{-T}) \sum_{j=1}^6 |s_j| - s^T M_\eta^{-1} J^{-T} \tau_{dis} \quad (۳۵)$$

با استناد به دو تعریف<sup>(۲۷)</sup>  $\zeta_{min} \triangleq \min_j(\xi_j)$  و<sup>(۲۸)</sup>  $\mu_{min} \triangleq \min_j(\mu_j)$  با بهره گرفتن از نامساوی پرکاربرد و با اهمیت کوشی-شوآرتز<sup>(۲۹)</sup>  $|-s^T M_\eta^{-1} J^{-T} \tau_{dis}| \leq \|s\| \|M_\eta^{-1} J^{-T}\| \|\tau_{dis}\|$  نامساوی<sup>(۳۶)</sup> تبدیل می‌شود.

$$\dot{V} \leq \{-\xi_{min} \sum_{j=1}^6 |s_j|^{\gamma+1} - \mu_{min} \sum_{j=1}^6 |s_j|^2 - \chi \lambda_{max}(M_\eta^{-1}J^{-T}) \sum_{j=1}^6 |s_j| + \|s\| \|M_\eta^{-1} J^{-T}\| \|\tau_{dis}\|\} \quad (۳۶)$$

با استناد به نامساوی‌های معروف لمهای<sup>(۶)</sup> و<sup>(۷)</sup> سه نامساوی<sup>(۳۷)</sup>  $(-\sum_{j=1}^6 |s_j|) \leq (-\sum_{j=1}^6 |s_j|^{\gamma+1})^{0.5(\gamma+1)}$  و<sup>(۲۷)</sup>  $\|M_\eta^{-1} J^{-T}\| \leq \left( \sum_{j=1}^6 |s_j|^2 \right)^{0.5(\gamma+1)}$  تعریف<sup>(۲۷)</sup>  $\lambda_{max}(M_\eta^{-1} J^{-T})$  نتیجه می‌گردد. با استفاده از این سه نامساوی اخیر و تبدیل می‌گردد.

$$\dot{V} \leq -\xi_{min} \|s\|^{\gamma+1} - \mu_{min} \|s\|^2 + \lambda_{max}(M_\eta^{-1} J^{-T}) \|s\| (\|\tau_{dis}\| - \chi) \quad (۳۷)$$

با توجه به فرض<sup>(۱)</sup>، ترم اسکالری<sup>(۲۷)</sup>  $(\|\tau_{dis}\| - \chi)$  همواره نامثبت (کوچکتر یا مساوی صفر) است. با درنظر گرفتن این نکته و تعریف کاندیدای لیپانوف<sup>(۲۷)</sup>  $V(t) = 0.5\|s\|^2$  نامساوی<sup>(۳۷)</sup> به فرم<sup>(۲۷)</sup> تبدیل می‌شود.

$$\dot{V} + 2\mu_{min} V + \sqrt{2^{\gamma+1}} \xi_{min} V^{0.5(\gamma+1)} \leq 0 \quad (۳۸)$$

حال چنانچه<sup>(۲۷)</sup>  $\rho_1 = 2\mu_{min}$  و<sup>(۲۷)</sup>  $\rho_2 = \rho_3 = 0.5(\gamma+1) \sqrt{2^{\gamma+1}} \xi_{min}$  استفاده شود،

**یادآوری ۲.** از آنجایی که ورودی‌های کنترلی پیشنهادی<sup>(۳۱)</sup> از تابع علامت<sup>(۳)</sup> استفاده می‌کنند، پدیده نامطلوب وزوز (چتینگ<sup>(۴)</sup>) (سوئیچینگ‌های فرکانس بالای ورودی‌های کنترلی همراه با صدای وزوز) رخ می‌دهد. برای غلبه بر این مشکل، ورودی‌های کنترلی رابطه<sup>(۳۱)</sup> به فرم رابطه<sup>(۴۰)</sup> اصلاح می‌گردند. شایان ذکر است که برای ورودی‌های کنترلی اصلاح شده<sup>(۴۰)</sup>، قضیه ۱ و اثبات آن برقرار و صحیح می‌باشد.

$$\begin{aligned} s(t) &= \dot{e}_{even} + l_1 \text{sign}(e_{odd}) + l_2 \text{sign}(e_{even}) \\ \tau &= J'(\eta) M_\eta(\eta)(\tau_{eq} + \tau_r) \\ \tau_{eq} &= M_\eta^{-1} (C_\eta \dot{\eta} + D_\eta \ddot{\eta} + G_\eta) + \dot{\eta}_d - l_1 \text{sign}(e_{odd}) - l_2 \text{sign}(e_{even}) \quad (۴۰) \\ \tau_r &= -\xi \text{sig}^\gamma(s) - \mu \text{sig}(s) \\ &\quad - \left( \|M_\eta^{-1} J^{-T}\| (\gamma(\|\eta\|, \|\dot{\eta}\|)) + \chi \left\| \frac{d}{dt} (M_\eta^{-1} J^{-T}) \right\| \right) \text{sign}(s) \end{aligned}$$

در رابطه<sup>(۴۰)</sup>، فرض شده است ترم اسکالری<sup>(۲۷)</sup>  $\gamma(\|\eta\|, \|\dot{\eta}\|)$  کران بالای بردار<sup>(۴۱)</sup> مطابق با رابطه<sup>(۴۱)</sup> می‌باشد که  $\kappa_h$  و<sup>(۴۱)</sup>  $\sigma_h$  اعداد حقیقی مثبت و معلوم هستند.

$$\|\dot{\tau}_{dis}(t)\| \leq \sum_{h=0}^n \kappa_h \|\eta\|^h + \sum_{h=0}^n \sigma_h \|\dot{\eta}\|^h = \gamma(\|\eta\|, \|\dot{\eta}\|) \quad (۴۱)$$

## ۵-۲ طراحی دسته‌ی دوم از ورودی‌های کنترلی زمان-محدود مقاوم

برای این دسته از ورودی‌های کنترلی، بردار سطوح لغزشی غیرخطی<sup>(۴۲)</sup> تعریف<sup>(۴۲)</sup> می‌شود. در این رابطه،  $0 < o_j < 1$ ،  $j = 1, 2, \dots, 6$  ثابت‌های مثبت

<sup>۳</sup> Sign function

<sup>۴</sup> Chattering phenomenon

<sup>۱</sup> Sliding mode dynamic (sliding motion)

<sup>۲</sup> Cauchy-Schwarz inequality

$$T_r \leq 0.5\pi\Omega_3 \left( \sqrt{\mu_{\min}\xi_{\min}} \right)^{-1} \sqrt{3^{\frac{1+\Omega_3}{\Omega_3}}} \quad (44)$$

در رابطه (۴۴)،  $\xi_{\min} \triangleq \min_j(\mu_j)$  و  $\mu_{\min} \triangleq \min_j(\mu_j)$  به فرم  $\xi_{\min}$  و  $\mu_{\min}$  تعریف شده‌اند.

$$T_s = \max_j(T_s) \text{ with } j = 1, 2, \dots, 6.$$

$$jT_s \leq \left( \varpi_j(1 - o_j) \right)^{-1} (3 - o_j) \left( \Psi_j(e_{2j-1}(t = T_r), e_{2j}(t = T_r)) \right)^{\frac{1-o_j}{3-o_j}} \quad (45)$$

$$\Psi_j(e_{2j-1}, e_{2j}) = \frac{2-o_j}{3-o_j} |H_j|^{2-o_j} + \vartheta_{1j} e_{2j} H_j + \frac{\vartheta_{2j}}{3-o_j} |e_{2j}|^{3-o_j}$$

$$\varpi_j = -\max_{(e_{2j-1}, e_{2j}) \in \Xi_j} \Psi_j(e_{2j-1}, e_{2j})$$

$$\text{with } \Xi_j = \{(e_{2j-1}, e_{2j}): \Psi_j(e_{2j-1}, e_{2j}) = 1\}$$

در رابطه (۴۵)  $\vartheta_{1j}, j = 1, 2, \dots, 6$ ،  $\vartheta_{2j}$  اعداد حقیقی اختیاری با شرایط  $\vartheta_{1j} > 1$  و  $0 < \vartheta_{2j} < 1$  هستند. ■

**افبات قضیه ۲.** این اثبات مشابه با اثبات قضیه ۱ از دو مرحله تشکیل شده است. در مرحله اول اثبات می‌شود که ورودی‌های کنترلی طراحی شده‌ی (۴۲) و (۴۳) می‌توانند سیستم دینامیکی خطاهای ریدیابی  $s(t) = \dot{s}(t) = \mathbf{0}$  را برای زمان‌های  $t \geq T_r$  به دینامیک مدل‌گذشتی (۲۸) تبدیل کنند. در مرحله دوم اثبات، نشان داده می‌شود که دینامیک مدل‌گذشتی  $s(t) = \dot{s}(t) = \mathbf{0}$  دارای پایداری زمان-محدود سرتاسری است و تمامی خطاهای ریدیابی  $e_{2j-1}, e_{2j}, j = 1, 2, \dots, 6$  که بر روی دینامیک مدل‌گذشتی  $s(t) = \dot{s}(t) = \mathbf{0}$  قرار گرفته‌اند، بعد از زمان  $T_s$  دقیقاً به صفر واقعی همگرا می‌شوند. در انتها نیز با جمع‌بندی این دو مرحله، مشخص می‌گردد که با اعمال ورودی‌های کنترلی (۴۲) و (۴۳)، هدف ریدیابی (۲۹) در مدت زمان محدود  $T_{total} = T_r + T_s$  برآورده خواهد شد. برای اثبات مرحله اول، کاندیدای لیاپانوف به فرم  $V(t) = 0.5\|s\|^2 = 0.5s^T s$  ۰.۵  $\sum_{j=1}^6 s_j^2$  انتخاب می‌گردد و مشتق اینتابع به صورت  $\dot{V}(t) = s^T(t)\dot{s}(t) = \dot{s}^T(t)s(t)$  است. با مشتق گیری از (۴۲)، ترم برداری  $\dot{s}^T(t)s(t)$  به صورت  $\dot{s}^T(t)\dot{s}(t) = \dot{s}^T(t)\dot{s}(t) + \dot{s}^T(t)\dot{s}(t) + \dot{s}^T(t)\dot{s}(t) + \dot{s}^T(t)\dot{s}(t) + \dot{s}^T(t)\dot{s}(t) + \dot{s}^T(t)\dot{s}(t)$  نتیجه می‌شود. با جایگذاری  $\dot{s}^T(t)\dot{s}(t) = \dot{s}^T(t)\dot{s}(t) + \dot{s}^T(t)\dot{s}(t) + \dot{s}^T(t)\dot{s}(t) + \dot{s}^T(t)\dot{s}(t) + \dot{s}^T(t)\dot{s}(t) + \dot{s}^T(t)\dot{s}(t)$  از رابطه (۲۸) و سپس جایگذاری برداری  $\dot{s}(t) = (\tau_r - M_\eta^{-1}J^{-T}\tau_{dis})$  به فرم  $\dot{V}(t) = s^T(t)\dot{s}(t) = s^T(t)(\tau_r - M_\eta^{-1}J^{-T}\tau_{dis}) = s^T(t)\tau_r - s^T(t)M_\eta^{-1}J^{-T}\tau_{dis}$  داشت. در مشتق تابع کاندیدای لیاپانوف  $\dot{V}(t) = s^T(t)\dot{s}(t) = s^T(t)(\tau_r - M_\eta^{-1}J^{-T}\tau_{dis}) = s^T(t)\tau_r - s^T(t)M_\eta^{-1}J^{-T}\tau_{dis}$  و استفاده از ترم برداری  $\tau_r$  (مطابق با رابطه (۴۳)، ترم اسکالاری  $\dot{V}(t)$  به صورت رابطه (۴۶) نتیجه می‌شود.

$$\dot{V} = -\sum_{j=1}^6 \xi_j |s_j|^{\Omega_1+1} - \sum_{j=1}^6 \mu_j |s_j|^{\Omega_2+1} - \chi \lambda_{\max}(M_\eta^{-1}J^{-T}) \sum_{j=1}^6 |s_j| - s^T M_\eta^{-1} J^{-T} \tau_{dis} \quad (46)$$

باتوجه به دو تعریف  $\xi_{\min} \triangleq \min_j(\xi_j)$  و  $\mu_{\min} \triangleq \min_j(\mu_j)$  و بهره جستن از نامساوی پرکاربرد و با اهمیت کوشی-شوآرتر  $|s^T M_\eta^{-1} J^{-T} \tau_{dis}| \leq \|s\| \|M_\eta^{-1} J^{-T} \tau_{dis}\| \leq \|s\| \|M_\eta^{-1} J^{-T}\| \|\tau_{dis}\|$  رابطه (۴۶) به فرم نامساوی (۴۷) تبدیل می‌شود.

$$\dot{V} \leq -\xi_{\min} \sum_{j=1}^6 |s_j|^{\Omega_1+1} - \mu_{\min} \sum_{j=1}^6 |s_j|^{\Omega_2+1} - \chi \lambda_{\max}(M_\eta^{-1}J^{-T}) \sum_{j=1}^6 |s_j| + \|s\| \|M_\eta^{-1} J^{-T}\| \|\tau_{dis}\| \quad (47)$$

با توجه به نامساوی‌های معروف لم‌های ۶ و ۷، چهار نامساوی  $(\sum_{j=1}^6 |s_j|^{\Omega_1+1})^{0.5(\Omega_1+1)} \leq -(\sum_{j=1}^6 |s_j|^2)^{0.5(\Omega_1+1)}$  و  $(-\sum_{j=1}^6 |s_j|) \leq -\|s\|$  و  $(-\sum_{j=1}^6 |s_j|^{\Omega_2+1}) \leq (-3^{-\Omega_2} (\sum_{j=1}^6 |s_j|^2)^{0.5(\Omega_2+1)})$  و  $\|M_\eta^{-1} J^{-T}\| \leq \lambda_{\max}(M_\eta^{-1} J^{-T})$  با استفاده از این

حقیقی اختیاری هستند.

$$\begin{aligned} s &= e_{even} + \int_0^t \text{sig}^o(e_{even}(\varsigma)) d\varsigma + \int_0^t \text{sig}^{o(2-o)^{-1}}(\mathbf{H}(\varsigma)) d\varsigma \\ \mathbf{H} &= [H_1 \quad H_2 \quad H_3 \quad H_4 \quad H_5 \quad H_6]^T \\ H_j(e_{2j-1}, e_{2j}) &= e_{2j-1} + (2 - o_j)^{-1} |e_{2j}|^{(2-o_j)} \text{sign}(e_j), j = 1, 2, \dots, 6 \\ o = [o_1 \quad o_2 \quad o_3 \quad o_4 \quad o_5 \quad o_6]^T \\ o(2-o)^{-1} &= [o_1(2-o_1)^{-1} \quad o_2(2-o_2)^{-1} \quad \dots \quad o_6(2-o_6)^{-1}]^T \\ \text{sig}^o(e_{even}) &= \begin{bmatrix} |e_2|^{o_2} \text{sign}(e_2) \\ |e_4|^{o_2} \text{sign}(e_4) \\ |e_6|^{o_2} \text{sign}(e_6) \\ |e_8|^{o_4} \text{sign}(e_8) \\ |e_{10}|^{o_4} \text{sign}(e_{10}) \\ |e_{12}|^{o_4} \text{sign}(e_{12}) \end{bmatrix}, \\ \text{sig}^{o(2-o)^{-1}}(\mathbf{H}) &= \begin{bmatrix} |H_1|^{o_1(2-o_1)^{-1}} \text{sign}(H_1) \\ |H_2|^{o_2(2-o_2)^{-1}} \text{sign}(H_2) \\ |H_3|^{o_3(2-o_3)^{-1}} \text{sign}(H_3) \\ |H_4|^{o_4(2-o_4)^{-1}} \text{sign}(H_4) \\ |H_5|^{o_5(2-o_5)^{-1}} \text{sign}(H_5) \\ |H_6|^{o_6(2-o_6)^{-1}} \text{sign}(H_6) \end{bmatrix} \end{aligned} \quad (42)$$

قوانين کنترلی مقاوم برای رساندن خطاهای ریدیابی به سطوح لغزشی تعريف شده، به فرم رابطه (۴۳) پیشنهاد می‌گردد.

$$\begin{aligned} \tau &= J^T M_\eta (\tau_{eq} + \tau_r) \\ \tau_{eq} &= M_\eta^{-1} (C_\eta \dot{\eta} + D_\eta \dot{\eta} + G_\eta) + \dot{\eta}_d - \text{sig}^o(e_{even}) - \text{sig}^{o(2-o)^{-1}}(\mathbf{H}) \\ \tau_r &= -\xi \text{sig}^{\Omega_1}(s) - \mu \text{sig}^{\Omega_2}(s) - \chi \lambda_{\max}(M_\eta^{-1} J^{-T}) \text{sign}(s) \\ \xi &= [\xi_1 \quad \xi_2 \quad \xi_3 \quad \xi_4 \quad \xi_5 \quad \xi_6]^T \\ \mu &= [\mu_1 \quad \mu_2 \quad \mu_3 \quad \mu_4 \quad \mu_5 \quad \mu_6]^T \\ \text{sign}(s) &= [\text{sign}(s_1) \quad \text{sign}(s_2) \quad \dots \quad \text{sign}(s_6)]^T \\ \mu \text{sig}^{\Omega_2}(s) &= \begin{bmatrix} \mu_1 |s_1|^{\Omega_2} \text{sign}(s_1) \\ \mu_2 |s_2|^{\Omega_2} \text{sign}(s_2) \\ \mu_3 |s_3|^{\Omega_2} \text{sign}(s_3) \\ \mu_4 |s_4|^{\Omega_2} \text{sign}(s_4) \\ \mu_5 |s_5|^{\Omega_2} \text{sign}(s_5) \\ \mu_6 |s_6|^{\Omega_2} \text{sign}(s_6) \end{bmatrix} \\ \xi \text{sig}^{\Omega_1}(s) &= \begin{bmatrix} \xi_1 |s_1|^{\Omega_1} \text{sign}(s_1) \\ \xi_2 |s_2|^{\Omega_1} \text{sign}(s_2) \\ \xi_3 |s_3|^{\Omega_1} \text{sign}(s_3) \\ \xi_4 |s_4|^{\Omega_1} \text{sign}(s_4) \\ \xi_5 |s_5|^{\Omega_1} \text{sign}(s_5) \\ \xi_6 |s_6|^{\Omega_1} \text{sign}(s_6) \end{bmatrix} \end{aligned} \quad (43)$$

در رابطه (۴۳)، ثابت‌های حقیقی اختیاری با شرایط  $0 < \xi_j < 0$  و  $0 < \mu_j < 0$  و توسع طراح و کاربر تعیین می‌شوند. هم‌چنین، دو ثابت حقیقی  $\Omega_1$  و  $\Omega_2 = 1 + \Omega_1 = 1 + (\Omega_3)^{-1}$  در مدت زمان محدود  $T_{total} = T_r + T_s$  برآورده خواهد شد. برای اثبات شرط  $1 > \Omega_3$  است. در ادامه، قضیه ۲ و اثبات مرتبط با آن آشکار می‌سازند که ورودی‌های کنترلی طراحی شده‌ی رابطه‌های (۴۲) و (۴۳) می‌توانند هدف ریدیابی را برای زیردیابی شش درجه آزادی (۲۵) فراهم سازند.

**قضیه ۲.** زیردیابی شش درجه آزادی رابطه (۲۵) را همراه با فرض‌های ۱ و ۲ در نظر بگیرید. اگر ورودی‌های کنترلی طراحی شده‌ی رابطه‌های (۴۲) و (۴۳) به زیردیابی (۲۵) اعمال شوند، آنگاه هدف ریدیابی زمان-محدود مقاوم (۲۹) برآورده شده و بردار موقعیت و جهت گیری زیردیابی  $\eta(t)$  بعد از گذشت مدت زمان محدود قابل تنظیم  $T_{total}$  به طور کاملاً دقیق به بردار مسیر دلخواه و مورد نظر  $\eta_d(t)$  همگرا می‌شود. هم‌چنین، برای زمان‌های  $t > T_{total}$  تساوی  $\eta(t) = \eta_d(t)$  برقرار خواهد بود. دو زمان محدود  $T_r$  و  $T_s$  به ترتیب توسط همواره برقرار خواهد بود. دو زمان محدود  $T_r$  و  $T_s$  به ترتیب توسط نامساوی‌های (۴۴) و (۴۵) محاسبه و تخمین زده می‌شوند. این دو نامساوی، کران‌های بالایی را برای دو زمان  $T_r$  و  $T_s$  معرفی می‌کنند که به شرایط اولیه زیردیابی وابسته نیستند.

کران بالای بردار ( $t_{dis}$ ) مطابق با رابطه (۴۱) می‌باشد.

$$\begin{aligned} s(t) &= \dot{e}_{even} + \text{sig}^o(e_{even}) + \text{sig}^{o(2-o)}(\mathbf{H}), \quad \tau = J^T M_\eta (\tau_{eq} + \tau_r) \\ \tau_{eq} &= M_\eta^{-1} (C_\eta \dot{\eta} + D_\eta \ddot{\eta} + G_\eta) + \dot{\eta}_d - \text{sig}^o(e_{even}) - \text{sig}^{o(2-o)}(\mathbf{H}) \\ \tau_r &= -\xi \text{sig}^{\Omega_1}(s) - \mu \text{sig}^{\Omega_2}(s) \\ &- \left( \|M_\eta^{-1} J^{-T}\| Y(\|\eta\|, \|\dot{\eta}\|) + \chi \left\| \frac{d}{dt} (M_\eta^{-1} J^{-T}(\eta)) \right\| \right) \text{sign}(s) \end{aligned} \quad (51)$$

### ۵-۳ طراحی دسته‌ی سوم از ورودی‌های کنترلی زمان-محدود مقاوم

برای دسته‌ی سوم از ورودی‌های کنترلی زمان-محدود، بردار سطوح لغزشی غیرخطی  $s = [s_1 \ s_2 \ s_3 \ s_4 \ s_5 \ s_6]^T \in \mathbb{R}^6$  به فرم رابطه (۵۲) تعریف می‌شود.

در رابطه (۵۲)،  $b_j, \epsilon_j, j = 1, 2, \dots, 6$  ثابت‌های مثبت حقیقی اختیاری هستند که توسط کاربر تعیین می‌شوند. در رابطه (۵۲)،  $\hbar_j, \delta_j, \omega_j$  و  $U_j$  چهار عدد صحیح فرد اختیاری هستند و باید به گونه‌ای انتخاب شوند که  $\hbar_j(\delta_j)^{-1} - \omega_j(U_j)^{-1} > 1$  و  $2\omega_j > U_j > \omega_j > 0$  برای  $j = 1, 2, \dots, 6$ . بدینهی است که توابع اسکالاری  $L(e_{2j-1})$  همواره مثبت هستند و اثبات این موضوع به علت سادگی به خواننده محترم واگذار می‌گردد.

$$\begin{aligned} s(t) &= e_{odd} + (e_{even} L(e_{odd}))^{\frac{U_j}{\omega_j}} \\ s_j(t) &= e_{2j-1} + (e_{2j} L(e_{2j-1}))^{\frac{U_j}{\omega_j}} \\ (e_{even} L(e_{odd}))^{\frac{U_j}{\omega_j}} &= \begin{bmatrix} (e_2 L(e_1))^{\frac{U_1}{\omega_1}} \\ (e_4 L(e_3))^{\frac{U_2}{\omega_2}} \\ (e_6 L(e_5))^{\frac{U_3}{\omega_3}} \\ (e_8 L(e_7))^{\frac{U_4}{\omega_4}} \\ (e_{10} L(e_9))^{\frac{U_5}{\omega_5}} \\ (e_{12} L(e_{11}))^{\frac{U_6}{\omega_6}} \end{bmatrix} \quad (52) \\ L(e_{2j-1}) &= \left( b_j + \epsilon_j (e_{2j-1})^{\left( \frac{\hbar_j}{\delta_j} \frac{\omega_j}{U_j} \right)} \right)^{-1} \end{aligned}$$

with  $j = 1, 2, \dots, 6$

قوانين کنترلی مقاوم برای رساندن خطاهای ردیابی به سطوح لغزشی تعریف شده، به فرم رابطه (۵۳) پیشنهاد می‌گردد.

در رابطه (۵۳)،  $\gamma, \mu_j, j = 1, 2, \dots, 6$  ثابت‌های حقیقی اختیاری با شرایط  $1 < \gamma < 0, 0 < \mu_j < 1$  و  $0 < \xi_j < \mu_j$  بوده و توسط طراح و کاربر تعیین شوند.

$$\begin{aligned} \tau &= J^T M_\eta (\tau_{eq} + \tau_r + \tau_m) \\ \tau_m &= [\tau_{m_1} \ \tau_{m_2} \ \tau_{m_3} \ \tau_{m_4} \ \tau_{m_5} \ \tau_{m_6}]^T \\ \tau_{eq} &= M_\eta^{-1} (C_\eta \dot{\eta} + D_\eta \ddot{\eta} + G_\eta) + \dot{\eta}_d \\ \tau_r &= [\tau_{r_1} \ \tau_{r_2} \ \tau_{r_3} \ \tau_{r_4} \ \tau_{r_5} \ \tau_{r_6}]^T \\ \tau_{m_j} &= -\frac{\omega_j}{U_j} \left( (e_{2j})^2 \frac{U_j}{\omega_j} (L(e_{2j-1}))^{-\frac{U_j}{\omega_j}} \right) + \\ &+ \epsilon_j (e_{2j})^2 \left( \frac{\hbar_j}{\delta_j} - \frac{\omega_j}{U_j} \right) (e_{2j-1})^{\left( \frac{\hbar_j}{\delta_j} \frac{\omega_j}{U_j} - 1 \right)} L(e_{2j-1}) \\ \tau_{r_j} &= -\frac{\omega_j}{U_j} \left( (e_{2j})^2 \frac{U_j}{\omega_j} (L(e_{2j-1}))^{-\frac{U_j}{\omega_j}} \right) (\mu_j |s_j| + \xi_j |s_j e_{2j}|)^{\gamma} \text{sign}(s_j e_{2j}) \\ &- \chi \|M_\eta^{-1} J^{-T}\| \text{sign}(s_j) \quad \text{with } j = 1, 2, \dots, 6 \end{aligned} \quad (53)$$

در ادامه، قضیه ۳ و اثبات مرتبط با آن نشان می‌دهند که ورودی‌های کنترلی پیشنهادی رابطه‌های (۵۲) و (۵۳) می‌توانند هدف ردیابی را برای زیردریابی شش درجه آزادی (۲۵) فراهم سازند.

چهار نامساوی اخیر و تعریف  $\sum_{j=1}^6 |s_j|^2 = \|s\|^2$ ، نامساوی رابطه (۴۷) به فرم ساده شده‌ی (۴۸) تبدیل می‌گردد.

$$\begin{aligned} \dot{V} &\leq \{-\xi_{\min} \|s\|^{\Omega_1+1} - \mu_{\min} 3^{-\Omega_2} \|s\|^{\Omega_2+1} \\ &+ \lambda_{\max}(M_\eta^{-1} J^{-T}) \|s\| (\|\tau_{dis}\| - \chi)\} \end{aligned} \quad (48)$$

با توجه به فرض ۱، ترم  $(\|\tau_{dis}\| - \chi)$  همواره کوچکتر یا مساوی صفر است. با درنظر گرفتن این نکته و تعریفتابع کاندیدای لیاپانوف  $V(t) = 0.5 \|s\|^2$  نامساوی (۴۸) به فرم (۴۹) تبدیل می‌شود.

$$\dot{V} + \sqrt{2^{\Omega_1+1}} \xi_{\min} V^{0.5(\Omega_1+1)} + 3^{-\Omega_2} \sqrt{2^{\Omega_2+1}} \mu_{\min} V^{0.5(\Omega_2+1)} \leq 0 \quad (49)$$

حال در ادامه  $\varphi_1, \varphi_2, \varphi_3, \varphi_4, \varphi_5$  و  $\rho_1, \rho_2, \rho_3, \rho_4, \rho_5$  به صورت  $\min$  (۱) درنظر گرفته می‌شوند و با اعمال رابطه‌های  $\Omega_2 = 1 - (\Omega_3)^{-1}$  و  $\varphi_2 = \varphi_1 = \sqrt{2^{\Omega_1+1}} \xi_{\min}$  این پنج پارامتر به صورت  $\varphi_1 = \sqrt{2^{\Omega_1+1}} \xi_{\min}$  و  $\varphi_4 = 1 + \varphi_3 = \Omega_3 \cdot 3^{-\Omega_2} \sqrt{2^{\Omega_2+1}} \mu_{\min}$   $\varphi_1 = 0.5(\rho_3)^{-1}$  نتیجه می‌شوند. بنابراین با مقایسه مقادیر نتیجه شده برای  $\varphi_1$  و  $\varphi_2$  با  $\rho_1, \rho_2, \rho_3, \rho_4, \rho_5$  می‌توان ادعا کرد که  $V(t)$  به صفر همگرا می‌شوند و برای زمان‌های  $t \geq T_r$  وجود دینامیک مدل  $s(t) = \dot{s}(t) = \mathbf{0}$  تضمین می‌گردد. علاوه بر این،  $T_r$  با رابطه (۴۴) تعیین می‌شود. بنابراین در مرحله دوم اثبات، برای زمان‌های  $t \geq T_r$  دینامیک مدل لغزشی  $s(t) = \dot{s}(t) = \mathbf{0}$  به صورت رابطه (۵۰) نتیجه می‌شود که از شش زیرسیستم غیرخطی مرتبه دوم مستقل و بدون اندرکنش تشکیل شده است.

$$\begin{cases} \dot{e}_{2j-1} = e_{2j} \\ \dot{e}_{2j} = -|e_{2j}|^{\theta_j} \text{sign}(e_{2j}) - |H_j|^{o_j(2-o_j)-1} \text{sign}(H_j) \end{cases} \quad (50)$$

with  $j = 1, 2, \dots, 6$  for  $t \geq T_r$

در ادامه، با مقایسه میان هر کدام از شش زیرسیستم غیرخطی رابطه (۵۰) با سیستم غیرخطی مرتبه دوم موجود در لام (۵) (رابطه‌های (۸) و (۱۱))، پایداری زمان-محدود سرتاسری دینامیک مدل لغزشی (۵۰) نتیجه می‌گردد و همگی خطاهای ردیابی  $e_{2j-1}, e_{2j}, j = 1, 2, \dots, 6$  که بر روی دینامیک مدل لغزشی  $s(t) = \dot{s}(t) = \mathbf{0}$  قرار گرفته‌اند بعد از گذشت مدت زمان محدود  $T_s$  به صفر واقعی همگرا می‌شوند. همچین زمان محدود  $T_s$  توسط رابطه (۴۵) تعیین می‌گردد. در آخر، با توجه به دو مرحله‌ی ذکر شده می‌توان ادعا کرد که بردار موقعیت و جهت گیری  $\eta$  زیردریابی شش درجه آزادی بعد از گذشت مدت زمان محدود  $T_{total} = T_s + T_r$  به طور کاملاً دقیق به بردار مسیر موردنظر  $\eta_d(t)$  می‌شود و زیردریابی در مسیر موردنظر قرار گرفته و هدف ردیابی زمان-محدود مقاوم (۲۹) برآورده می‌گردد. بنابراین اثبات قضیه ۲ در اینجا پایان می‌پذیرد.

**یادآوری ۳.** مشابه با استدلال ذکر شده در یادآوری ۲، با اعمال ورودی‌های کنترلی طراحی شده‌ی (۴۳) به زیردریابی شش درجه آزادی، پدیده وزوز اتفاق می‌افتد. برای کاهش این پدیده نامطلوب، ورودی‌های کنترلی رابطه (۴۳) به فرم رابطه (۵۱) اصلاح می‌گردد. باید به این موضوع توجه داشت که برای ورودی‌های کنترلی اصلاح شده (۵۱)، قضیه ۲ و اثبات آن برقرار می‌باشند. در رابطه (۵۱)، ترم اسکالاری  $\|\eta\|, \|\dot{\eta}\|$  و  $\chi$  می‌گردد.

<sup>1</sup> Odd integer

(۵۸) ظاهر شده است، همواره نامتفی می‌باشد.

$$\dot{s}_j = -\xi_j e_{2j} |s_j e_{2j}|^\gamma \text{sign}(s_j e_{2j}) - \mu_j e_{2j} \text{sign}(s_j e_{2j}) + \\ + \left( \frac{\mathbb{U}_j}{\omega_j} (e_{2j})^{\left(\frac{\mathbb{U}_j}{\omega_j}-1\right)} (\mathcal{L}(e_{2j-1}))^{\frac{\mathbb{U}_j}{\omega_j}} \right) \quad (58)$$

$$\times \left( (\mathbf{M}_\eta^{-1} \mathbf{J}^{-T} \boldsymbol{\tau}_{dis})_j - \chi \| \mathbf{M}_\eta^{-1} \mathbf{J}^{-T} \boldsymbol{\tau}_{dis} \| \text{sign}(s_j) \right)$$

با جایگذاری  $\dot{s}_j$  از رابطه (۵۸) در نظر گرفتن  $\dot{V}(t) = \sum_{j=1}^6 \dot{s}_j s_j$  در (۵۸) و در نظر گرفتن نامساوی  $\|(\mathbf{M}_\eta^{-1} \mathbf{J}^{-T} \boldsymbol{\tau}_{dis})_j\| \leq \|\mathbf{M}_\eta^{-1} \mathbf{J}^{-T}\| \|\boldsymbol{\tau}_{dis}\|$  ترم اسکالری (۵۹) به فرم رابطه (۵۹) نتیجه می‌شود.

$$\dot{V} \leq \{ -(\min_j(\mu_j |e_{2j}|)) \left( \sum_{j=1}^6 |s_j|^2 \right)^2 \\ - \left( \min_j(\xi_j |e_{2j}|^{\gamma+1}) \right) \left( \sum_{j=1}^6 |s_j|^{\gamma+1} \right) + \\ + \|\mathbf{M}_\eta^{-1} \mathbf{J}^{-T}\| \times (\|\boldsymbol{\tau}_{dis}\| - \chi) \times \\ \times \left( \sum_{j=1}^6 |s_j| \left( \frac{\mathbb{U}_j}{\omega_j} (e_{2j})^{\left(\frac{\mathbb{U}_j}{\omega_j}-1\right)} (\mathcal{L}(e_{2j-1}))^{\frac{\mathbb{U}_j}{\omega_j}} \right) \right) \} \quad (59)$$

با استناد به فرض ۱، ترم  $(\|\boldsymbol{\tau}_{dis}\| - \chi)$  همواره نامتفی می‌باشد. با در نظر گرفتن  $\Theta \triangleq \min_j(\mu_j |e_{2j}|^{\gamma+1})$  و  $\Pi \triangleq \min_j(\xi_j |e_{2j}|^{\gamma+1})$  و نامساوی  $\left( -\left( \sum_{j=1}^6 |s_j|^{\gamma+1} \right) \right) \leq \left( -\left( \sum_{j=1}^6 |s_j|^2 \right)^{0.5(\gamma+1)} \right) = -2^{0.5(\gamma+1)} V^{0.5(\gamma+1)}$  رابطه (۵۹) به فرم نامساوی (۶۰) ساده می‌شود.

$$\dot{V} \leq -2\theta V - 2^{0.5(\gamma+1)} \Pi V^{0.5(\gamma+1)} \quad (60)$$

چنانچه  $\varphi_1, \varphi_2$  و  $\varphi_3$  را به صورت  $2\theta = 2^{0.5(\gamma+1)} \Pi$  و  $\varphi_1 = 2^{0.5(\gamma+1)}$  در نظر گرفته و از لم ۱ استفاده شود، می‌توان ادعا کرد که  $0.5(\gamma+1)$  در نظر گرفته و از لم ۱ استفاده شود، می‌توان ادعا کرد که  $V(t)$  به صفر همگرا می‌شوند و برای زمان‌های  $t \geq T_r$  وجود دینامیک مدل غزشی  $s(t) = \mathbf{0}$  تضمین می‌گردد. علاوه بر این، با رابطه (۵۴) تعیین می‌شود. بنابراین در مرحله دوم اثبات، برای زمان‌های  $t \geq T_r$ ، دینامیک مدل غزشی  $s(t) = \mathbf{0}$  به صورت رابطه (۶۱) نتیجه می‌شود که از شش زیرسیستم غیرخطی مرتبه اول مستقل و بدون اندرکنش تشکیل شده است.

$$\begin{cases} \dot{e}_{2j-1} = e_{2j} \\ \dot{e}_{2j-1} = -\epsilon_j (e_{2j-1})^{\frac{h_j}{\omega_j}} - b_j (e_{2j-1})^{\frac{\omega_j}{\mathbb{U}_j}} \end{cases} \quad (61)$$

with  $j = 1, 2, \dots, 6$ . for  $t \geq T_r$ .

در ادامه، با مقایسه میان هر کدام از شش زیرسیستم غیرخطی رابطه (۶۱) با سیستم غیرخطی مرتبه اول موجود در لم ۳ (رابطه (۵))، پایداری زمان-محدود سرتاسری دینامیک مدل غزشی (۶۱) نتیجه می‌گردد و همگی خطاهای ریدیابی  $e_{2j-1}, e_{2j}, j = 1, 2, \dots, 6$  برای دینامیک مدل غزشی  $s(t) = \mathbf{0}$  قرار گرفته‌اند بعد از گذشت مدت زمان محدود  $T_s$  به صفر واقعی همگرا می‌شوند. با جمع‌بندی تعیین می‌گردد که با اعمال ورودی‌های کنترلی (۵۲) و (۵۳)، هدف ریدیابی (۲۹) بعد از گذشت مدت زمان محدود  $T_{total} = T_r + T_s$  برآورده خواهد شد. برای اثبات مرحله اول، کاندیدای لیپانوف  $V(t) = 0.5 \|s\|^2 = 0.5 s^T s$  انتخاب می‌گردد و مشتق اینتابع به صورت  $\dot{V}(t) = s^T(t) \dot{s}(t) = s^T(t) \dot{s}(t)$  است. با مشتق گیری از رابطه (۵۲)،  $\dot{s}_j(t), j = 1, 2, \dots, 6$  به صورت رابطه (۶۲) نتیجه می‌شود.

**قضیه ۳.** زیردریابی شش درجه آزادی رابطه (۲۵) را همراه با فرض‌های ۱ و ۲ در نظر بگیرید. چنانچه ورودی‌های کنترلی پیشنهادی رابطه‌های (۵۲) و (۵۳) به زیردریابی (۲۵) اعمال شوند، آنگاه هدف ریدیابی زمان-محدود مقاوم (۲۹) برآورده شده و بردار موقعیت و جهت گیری  $T_{total} = \eta(t)$  بعد از گذشت مدت زمان محدود قابل تنظیم  $T_r + T_s$  به طور کاملاً دقیق به بردار مسیر دلخواه و مورد نظر همگرا  $\eta(t) = \eta_d(t)$  می‌شود. هم‌چنین، برای زمان‌های  $t > T_{total}$  و  $T_r$  به ترتیب توسط همواره برقرار خواهد بود. دو زمان محدود  $T_r$  و  $T_s$  ارائه می‌کنند. ■

$$T_r \leq (\theta(1-\gamma))^{-1} (\ln(\theta \|s(0)\|^{1-\gamma} + \Pi) - \ln \Pi) \quad (54)$$

در رابطه (۵۴)،  $\theta \triangleq \min_j(\mu_j |e_{2j}|)$  و  $\Pi \triangleq \min_j(\xi_j |e_{2j}|^{\gamma+1})$  تعريف شده‌اند.

$$T_s = \max_j(j T_s) \quad \text{with } j = 1, 2, \dots, 6,$$

where  $j T_s \leq \frac{1}{\epsilon_j} \left( \frac{\delta_j}{h_j - \delta_j} \right) + \frac{1}{b_j} \left( \frac{\mathbb{U}_j}{\mathbb{U}_j - \omega_j} \right) \quad (55)$

**اثبات قضیه ۳.** این اثبات مشابه با اثبات قضیه‌های ۱ و ۲ از دو مرحله تشکیل شده است. در مرحله اول اثبات می‌شود که ورودی‌های کنترلی پیشنهادی (۵۲) و (۵۳) می‌توانند سیستم دینامیک خطاهای ریدیابی (۲۸) را برای زمان‌های  $t \geq T_r$  به دینامیک مدل غزشی  $s(t) = \mathbf{0}$  تبدیل کنند. در مرحله دوم نشان داده می‌شود که دینامیک مدل غزشی  $s(t) = \mathbf{0}$  دارای پایداری زمان-محدود سرتاسری است و خطاهای ریدیابی  $e_{2j-1}, e_{2j}, j = 1, 2, \dots, 6$  که بر روی دینامیک مدل غزشی  $\dot{s}(t) = \mathbf{0}$  قرار گرفته‌اند، بعد از زمان  $T_s$  دقیقاً به صفر واقعی همگرا می‌شوند. با جمع‌بندی این دو مرحله، مشخص می‌گردد که با اعمال ورودی‌های کنترلی (۵۲) و (۵۳)، هدف ریدیابی (۲۹) بعد از گذشت مدت زمان محدود  $T_{total} = T_r + T_s$  برآورده خواهد شد. برای اثبات مرحله اول، کاندیدای لیپانوف  $V(t) = 0.5 \|s\|^2 = 0.5 s^T s$  انتخاب می‌گردد و مشتق اینتابع به صورت  $\dot{V}(t) = s^T(t) \dot{s}(t)$  است. با مشتق گیری از رابطه (۵۲)،  $\dot{s}_j(t), j = 1, 2, \dots, 6$  به صورت رابطه (۶۲) نتیجه می‌شود.

$$\begin{aligned} \dot{s}_j &= e_{2j} + \frac{\mathbb{U}_j}{\omega_j} (e_{2j} \mathcal{L}(e_{2j-1}))^{\left(\frac{\mathbb{U}_j}{\omega_j}-1\right)} \left( e_{2j} \mathcal{L}(e_{2j-1}) + e_{2j} \frac{d}{dt} \mathcal{L}(e_{2j-1}) \right) \\ \frac{d}{dt} \mathcal{L}(e_{2j-1}) &= -\epsilon_j \left( \frac{h_j}{\delta_j} - \frac{\omega_j}{\mathbb{U}_j} \right) e_{2j} (e_{2j-1})^{\left(\frac{h_j}{\delta_j} - \frac{\omega_j}{\mathbb{U}_j} - 1\right)} \left( \mathcal{L}(e_{2j-1}) \right)^2 \end{aligned} \quad (56)$$

with  $j = 1, 2, \dots, 6$ .

حال با جایگذاری  $\dot{e}_{2j}$  (از رابطه (۲۸)) و ورودی‌های کنترلی رابطه (۵۳) در رابطه (۵۶)، ترم‌های اسکالری  $\tau_{mj}, \tau_{rj}, j = 1, 2, \dots, 6$  به فرم رابطه (۵۷) تبدیل می‌شود. در این رابطه اخیر،  $(\mathbf{M}_\eta^{-1} \mathbf{J}^{-T} \boldsymbol{\tau}_{dis})_j$  بیانگر ز مین درایهی بردار  $\mathbf{M}_\eta^{-1} \mathbf{J}^{-T} \boldsymbol{\tau}_{dis}$  است.

$$\begin{aligned} s_j &= e_{2j} + \frac{\mathbb{U}_j}{\omega_j} (e_{2j} \mathcal{L}(e_{2j-1}))^{\left(\frac{\mathbb{U}_j}{\omega_j}-1\right)} \left( \tau_{mj} + \tau_{rj} + (\mathbf{M}_\eta^{-1} \mathbf{J}^{-T} \boldsymbol{\tau}_{dis})_j \right) \\ &\quad - \epsilon_j \frac{\mathbb{U}_j}{\omega_j} \left( \frac{h_j}{\delta_j} - \frac{\omega_j}{\mathbb{U}_j} \right) (e_{2j-1})^{\left(\frac{h_j}{\delta_j} - \frac{\omega_j}{\mathbb{U}_j} - 1\right)} (e_{2j} \mathcal{L}(e_{2j-1}))^{\left(\frac{\mathbb{U}_j}{\omega_j} + 1\right)} \end{aligned} \quad (57)$$

حال چنانچه ترم‌های اسکالری  $\tau_{mj}, \tau_{rj}$  (از رابطه (۵۳)) را در رابطه (۵۷) جایگذاری کنیم، ترم اسکالری  $\tau_{rj}$  به فرم رابطه (۵۸) ساده می‌شود.

توجه داشته باشید ترم  $\left( \frac{\mathbb{U}_j}{\omega_j} (e_{2j})^{\left(\frac{\mathbb{U}_j}{\omega_j}-1\right)} (\mathcal{L}(e_{2j-1}))^{\frac{\mathbb{U}_j}{\omega_j}} \right)$  که در رابطه

بهینه سازی ذکر شده، باید تابع هزینه ای تعریف شود که شامل دو ترم مرتبط با تلاش کنترلی (انرژی کنترلی) و زمان های همگرایی باشد. قیود موجود در این مسئله بهینه سازی شامل قیدهای مرتبط با محدوده های پارامترهای آزاد و ماکریتم دامنه های گشتاورهای ورودی کنترلی خواهد بود.

شکل ۲، شماتیکی مفهومی از نحوه برآورده ساختن هدف رذایابی زمان-محدود زیردریایی شش درجه آزادی را نشان می دهد، که این شماتیک برای هر کدام از سه دسته ورودی های کنترلی پیشنهادی صادق و برقرار است.

محافظه کاری کمتری نسبت به نامساوی رابطه (۵۵) می باشد.

$$T_s = \max_j(T_s), \text{with } 1, 2, \dots, 6.$$

$$\text{where } j T_s \leq \left( \frac{\delta_j}{\epsilon_j(\delta_j - \delta_j)} + \frac{U_j}{(U_j - \omega_j)\sqrt{\epsilon_j b_j}} \arctan \left( \sqrt{\frac{\epsilon_j}{b_j}} \right) \right) \quad (62)$$

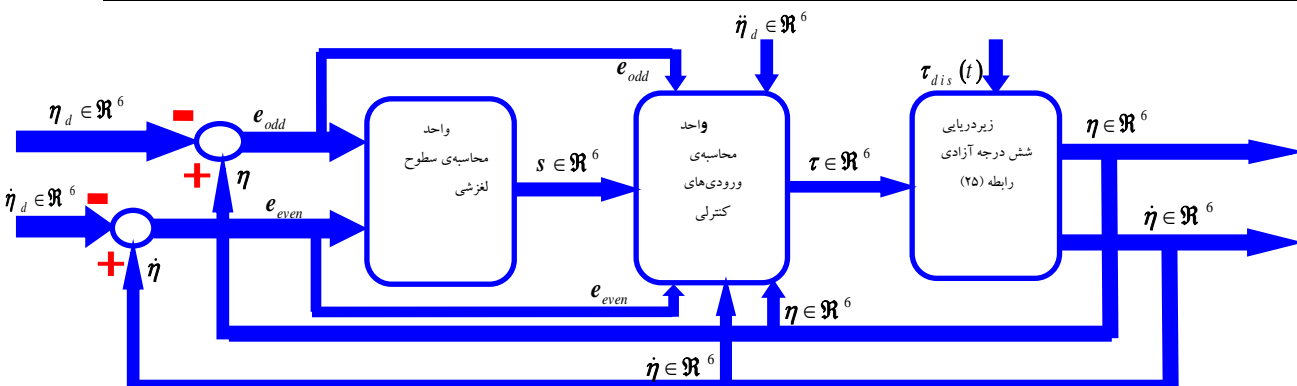
**یادآوری ۵.** جدول ۲ تمام پارامترهای آزاد موجود در سه دسته از ورودی های کنترلی پیشنهادی را همراه با شرایط لازم شان نشان می دهد. شایان ذکر است که کاربر می تواند برای انتخاب مناسب این پارامترهای آزاد، از حل یک مسئله بهینه سازی غیر خطی دارای قیود استفاده کند تا هم از ری کنترلی (و هم چین ماکریتم دامنه گشتاورهای ورودی کنترلی) کاهش یافته و زمان های همگرایی نیز حداقل شوند. بنابراین برای مسئله

جدول ۲. پارامترهای اختیاری موجود در هر سه دسته ورودی های کنترلی پیشنهادی همراه با شرایط لازمه.

پارامترهای اختیاری موجود در سطوح لغزشی

پارامترهای اختیاری موجود در قوانین کنترلی

دسته اول	where $l_{1j} > l_{2j} > 0, l_{ij}, i = 1, 2, \dots, 6$	, $\xi_j > 0$ , and $\mu_j > 0$ , with $j = 1, 2, \dots, 6, 0 < \gamma < 1$
دسته دوم	$0 < o_j < 1$ with $j = 1, 2, \dots, 6$ .	and $\xi_j > 0$ , and $\mu_j > 0$ , with $j = 1, 2, \dots, 6$ , $\Omega_1 = 1 - (\Omega_3)^{-1}$ , and $\Omega_2 = 1 + (\Omega_3)^{-1}\Omega_3 > 1$
دسته سوم	and $\delta_j, \omega_j, b_j > 0, \epsilon_j > 0$ , with $j = 1, 2, \dots, 6$ $U_j$ are odd integers where $\delta_j > \omega_j > 2\omega_j > U_j > \omega_j > 0$ , and $\frac{\delta_j}{\omega_j} - \frac{\omega_j}{U_j} > 1$ , with $j = 1, 2, \dots, 6$ .	, $\xi_j > 0$ , and $\mu_j > 0$ , with $j = 1, 2, \dots, 6, 0 < \gamma < 1$



شکل ۲. شماتیک مفهومی از پیاده سازی ورودی های کنترلی پیشنهادی به منظور برآورده ساختن هدف رذایابی زیردریایی شش درجه آزادی.

دارای چهار بالک و دو تراسته می باشد که شش ورودی کنترلی از طریق این شش عملگر به سیستم زیردریایی اعمال می شود. معادلات دینامیکی و سینماتیکی زیردریایی NPS AUV II، دقیقاً با رابطه (۱۵) تا (۲۶) توصیف می گردد. جدول ۳، مقادیر عددی پارامترهای فیزیکی موجود در ماتریس اینرسی جسم صلب  $M_{RB}$  متعلق به زیردریایی NPS AUV II را نشان می دهد. مطابق با رابطه (۱۹) ماتریس جرم اضافه شده  $M_A$  برای زیردریایی شش NPS AUV II دارای ۳۶ درایه است که ۲۲ درایه از آن کاملاً صفر بوده و این درایه ها در رابطه (۶۳) آورده شده اند. ۱۴ درایه دیگر مطابق با رابطه (۶۴) محاسبه می شوند.

جدول ۳. مقادیر عددی پارامترهای فیزیکی موجود در ماتریس  $M_{RB}$  متعلق به زیردریایی II [۶۵-۶۷] NPS AUV II.

پارامتر فیزیکی	مقادیر عددی	پارامتر فیزیکی	مقادیر عددی
$m$	5454.54(kg)	$I_y$	13587(N.m.s <sup>2</sup> )
$x_G$	0.0(m)	$I_z$	13587(N.m.s <sup>2</sup> )
$y_G$	0.0(m)	$I_{xy}$	-13.58 (N.m.s <sup>2</sup> )
$z_G$	0.061(m)	$I_{yz}$	-13.58 (N.m.s <sup>2</sup> )
$I_x$	2038(N.m.s <sup>2</sup> )	$I_{xz}$	-13.58 (N.m.s <sup>2</sup> )

## ۶- نتایج شبیه سازی ورودی های کنترلی پیشنهادی بر روی مدل زیردریایی NPS AUV II

در این مقاله، برای شبیه سازی ها از مدل زیردریایی شناخته شده Naval Postgraduate School Autonomous Underwater Vehicle II استفاده می گردد که این زیردریایی در مراجع مختلف [۶۵-۶۷] با نام اختصاری NPS AUV II شناخته می شود. در اغلب مقالات و مطالعات پژوهشی، زیردریایی شش درجه آزادی NPS AUV II، به عنوان یک محک ارزیابی برای شبیه سازی روش های کنترلی پیشنهادی مخصوص زیردریایی ها مورد استفاده قرار گرفته است. زیردریایی NPS AUV II

$$\begin{cases} X_{\dot{u}} = 0.5\rho L^3 \dot{X}_{\dot{u}} \\ Y_{\dot{v}} = 0.5\rho L^3 \dot{Y}_{\dot{v}} \\ Z_{\dot{\omega}} = 0.5\rho L^3 \dot{Z}_{\dot{\omega}} \end{cases}, \begin{cases} Y_{\dot{p}} = 0.5\rho L^4 \dot{Y}_{\dot{p}} \\ Y_{\dot{r}} = 0.5\rho L^4 \dot{Y}_{\dot{r}} \\ Z_{\dot{q}} = 0.5\rho L^4 \dot{Z}_{\dot{q}} \end{cases}, \begin{cases} N_{\dot{p}} = 0.5\rho L^5 \dot{N}_{\dot{p}} \\ N_{\dot{r}} = 0.5\rho L^5 \dot{N}_{\dot{r}} \\ M_{\dot{\omega}} = 0.5\rho L^4 \dot{M}_{\dot{\omega}} \end{cases} \quad (64)$$

$$\begin{cases} X_{\dot{v}} = X_{\dot{\omega}} = Y_{\dot{u}} = Y_{\dot{\omega}} = Z_{\dot{u}} = Z_{\dot{\omega}} = 0 \\ X_{\dot{p}} = X_{\dot{q}} = X_{\dot{r}} = Y_{\dot{q}} = Z_{\dot{p}} = Z_{\dot{r}} = 0 \\ K_{\dot{u}} = K_{\dot{\omega}} = M_{\dot{u}} = M_{\dot{\omega}} = N_{\dot{u}} = N_{\dot{\omega}} = 0 \\ K_{\dot{q}} = M_{\dot{p}} = M_{\dot{r}} = N_{\dot{q}} = 0 \end{cases} \quad (63)$$

مقادیر عددی پارامترهای موجود در رابطه (۶۴) در جدول ۴ آورده شده است. با توجه جدولهای ۳ و ۴، برای زیردریایی NPS AUV II دو ماتریس  $M_A$  و  $M_{RB}$  به فرم عددی رابطه‌های (۶۵) و (۶۶) نتیجه می‌شوند.

جدول ۴. مقادیر عددی پارامترهای فیزیکی موجود در ماتریس  $M_A$  متعلق به زیردریایی NPS AUV II.

پارامتر فیزیکی	مقادیر عددی	پارامتر فیزیکی	مقادیر عددی
$L$	5.3(m)	$K_{\dot{v}}$	$1.2 \times 10^{-4}$
$\rho$	$1000(\text{kg.m}^{-3})$	$\dot{N}_{\dot{v}}$	$1.2 \times 10^{-3}$
$\dot{X}_{\dot{u}}$	$-7.6 \times 10^{-3}$	$\dot{M}_{\dot{\omega}}$	$-6.8 \times 10^{-3}$
$\dot{Y}_{\dot{v}}$	$-5.5 \times 10^{-2}$	$\dot{K}_{\dot{p}}$	$-1 \times 10^{-3}$
$\dot{Z}_{\dot{\omega}}$	$-2.4 \times 10^{-1}$	$\dot{K}_{\dot{r}}$	$-3.4 \times 10^{-5}$
$\dot{Y}_{\dot{p}}$	$1.2 \times 10^{-4}$	$\dot{M}_{\dot{q}}$	$-1.7 \times 10^{-2}$
$\dot{Y}_{\dot{r}}$	$1.2 \times 10^{-3}$	$\dot{N}_{\dot{p}}$	$-3.4 \times 10^{-5}$
$\dot{Z}_{\dot{q}}$	$-6.8 \times 10^{-3}$	$\dot{N}_{\dot{r}}$	$-3.4 \times 10^{-3}$

از آنجایی که پارامترهای فیزیکی به کار رفته در ماتریس‌های  $M_{RB}$  و  $M_A$  همان پارامترهای فیزیکی مورد استفاده در ماتریس‌های  $C_{RB}(v)$  و  $C_A(v)$  هستند، این دو ماتریس برای زیردریایی NPS AUV II، به فرم عددی رابطه‌های (۶۷) و (۶۸) نتیجه می‌شوند.

متغیرهای  $u, v, \omega$  و  $p, q, r$  همان سرعت‌های خطی و زاویه‌ای زیردریایی بیان شده در دستگاه مختصات بدنه ثابت می‌باشند. جدول ۵ مقادیر پارامترهای فیزیکی دو ماتریس  $D_0$  و  $D_n(v)$  متعلق به زیردریایی NPS AUV II را ارائه می‌دهد.

$$M_A = \begin{bmatrix} 565.733 & 0 & 0 & 0 & 0 & 0 \\ 0 & 4094.1 & 0 & -47.343 & 0 & -473.43 \\ 0 & 0 & 17865 & 0 & 2682.8 & 0 \\ 0 & -47.343 & 0 & 2091 & 0 & 71.0932 \\ 0 & 0 & 2682.8 & 0 & 35547 & 0 \\ 0 & -473.43 & 0 & 71.0932 & 0 & 7109.3 \end{bmatrix} \quad (65)$$

$$M_{RB} = \begin{bmatrix} 5454.5 & 0 & 0 & 0 & 332.7 & 0 \\ 0 & 5454.5 & 0 & -332.7 & 0 & 0 \\ 0 & 0 & 5454.54 & 0 & 0 & 0 \\ 0 & -332.73 & 0 & 2038 & 13.6 & 13.6 \\ 332.7 & 0 & 0 & 13.6 & 13587 & 13.6 \\ 0 & 0 & 0 & 13.6 & 13.6 & 13587 \end{bmatrix} \quad (66)$$

$$C_{RB} = \begin{bmatrix} 0 & 0 & 0 & 332.7269r & 5454.54\omega & -5454.54v \\ 0 & 0 & 0 & -5454.54\omega & 332.7269r & 5454.54u \\ 0 & 0 & 0 & 5454.54v - 332.7269p & -5454.54u - 332.7269q & 0 \\ -332.7269r & 5454.54\omega & -5454.54v + 332.7269p & 0 & 13.58p + 13.58q + 13587r & -13.58p - 13587q - 13.58r \\ -5454.54\omega & -332.7269r & 5454.54u + 332.7269q & -13.58p - 13.58q - 13587r & 0 & 2038p + 13.58q + 13.58r \\ 5454.54v & -5454.54u & 0 & 13.58p + 13587q + 13.58r & -2038p - 13.58q - 13.58r & 0 \end{bmatrix} \quad (67)$$

جدول ۵. مقادیر عددی پارامترهای فیزیکی موجود در دو ماتریس  $D_0$  و  $D_n(v)$  زیردریایی NPS AUV II.

ضرایب میرایی	مقادیر عددی	ضرایب هیدرودینامیکی	مقادیر عددی
$X_u$	0.0 (kg/s)	$X_{u u }$	$-30.9 (\text{kg/m})$
$Y_v$	-1404.5 (kg/s)	$Y_{v v }$	-206.5 (kg/m)
$Z_{\omega}$	-4213.5 (kg/s)	$Z_{\omega \omega }$	-338.1 (kg/m)
$M_q$	-14045.05 (kg.m/s)	$M_{q q }$	-214.66 (kg.m)
$N_r$	-6312.38 (kg.m/s)	$N_{r r }$	-346.26 (kg.m)
$K_p$	-4339.76 (kg.m/s)	$K_{p p }$	0.0 (kg.m)

با توجه جدول ۵، برای زیردریایی NPS AUV II، دو ماتریس  $D_0$  و  $D_n(v)$  به فرم عددی رابطه‌های (۶۹) و (۷۰) نتیجه می‌شوند.

جدول ۶. مقادیر عددی پارامترهای فیزیکی موجود در ماتریس  $G(\eta)$  متعلق به زیردریایی NPS AUV II.

پارامتر فیزیکی	مقادیر عددی	پارامتر فیزیکی	مقادیر عددی
$W$	53.4(kN)	$B$	53.4(kN)
$x_G$	0.0(m)	$y_B$	0.0(m)
$y_G$	0.0(m)	$z_B$	0.0(m)
$z_G$	0.061(m)		
$x_B$	0.0(m)		

در تمامی شبیه‌سازی‌ها، ترم نامعینی برداری  $\tau_{dis} \in \mathbb{R}^6$  به صورت رابطه (۷۳) درنظر گرفته شده و به مدل زیردریایی NPS AUV II اضافه شده است. شایان ذکر است که ترم برداری رابطه (۷۳)، فرض ۱ را برآورده می‌سازد.

$$\begin{aligned}\eta_d(t) &= [x_d \ y_d \ z_d \ \phi_d \ \theta_d \ \psi_d]^T = \\ &= [40\cos(0.02\pi t) \ -40\sin(0.02\pi t) \ -3 \ 0 \ 0 \ \frac{\pi t}{15}]^T \\ \eta(0) &= [x(0) \ y(0) \ z(0) \ \phi(0) \ \theta(0) \ \psi(0)]^T = \\ &= [4 \ -25 \ 0 \ \frac{\pi}{8} \ -\frac{\pi}{4} \ -\frac{\pi}{2}]^T \\ \dot{\eta}(0) &= [\dot{x}(0) \ \dot{y}(0) \ \dot{z}(0) \ \dot{\phi}(0) \ \dot{\theta}(0) \ \dot{\psi}(0)]^T \\ &= [0 \ 0 \ 0 \ 0 \ 0]^T\end{aligned}\quad (۷۲)$$

و

$$\tau_{dis} = 0.1\eta(t) + 0.15\dot{\eta}(t) + \begin{bmatrix} 0.2\sin(\pi t) \\ 0.15\sin(2\pi t) \\ 0.25\sin(3\pi t) \\ 0.1\sin(4\pi t) \\ 0.3\sin(5\pi t) \\ 0.15\sin(6\pi t) \end{bmatrix} \quad (۷۳)$$

با توجه به رابطه (۷۳) و استناد به فرض ۱، کران بالای ترم نامعینی برداری به فرم  $\chi(\|\eta\|, \|\dot{\eta}\|) = 0.1\|\eta\| + 0.15\|\dot{\eta}\| + 1.15$  نتیجه می‌گردد. این بخش از مقاله، از سه زیربخش جداگانه تشکیل شده است که در هر زیربخش، یکی از سه دسته ورودی‌های کنترلی پیشنهادی به مدل زیردریایی NPS AUV II اعمال شده و نتایج شبیه‌سازی‌ها آورده می‌شوند. سه شبیه‌سازی جداگانه نشان می‌دهند که هر سه دسته از ورودی‌های کنترلی پیشنهادی، قادرند که زیردریایی NPS AUV II را بعد از گذشت مدت زمان محدودی به مسیر مورد نظر رابطه (۷۲) برسانند و همواره در امتداد این مسیر حرکت دهند. لازم به ذکر است که در شبیه‌سازی‌ها، به جای تابع علامت ( $sign(s)$ ) از تابع  $(100s)^{\frac{2}{\pi}} \arctan(\frac{2}{\pi})$  استفاده شده و این جایگزینی باعث گردیده که پدیده چرینگ تا حد زیادی کاهش یابد. بنابراین در شبیه‌سازی‌ها، به جای تابع پرشی و ناپیوسته علامت، از شبیه‌ترین تابع پیوسته به تابع علامت یعنی تابع  $(100s)^{\frac{2}{\pi}} \arctan(\frac{2}{\pi})$  استفاده گردید. با جایگزینی ذکر شده در شبیه‌سازی‌ها، پدیده وزوز تا حد بسیار قابل توجهی کاهش یافته و علناً می‌توان ادعا کرد که این پدیده به صفر رسیده است. اما شایان ذکر است که در اثبات‌های قضیه‌های مقاله از همان توابع علامت استفاده شده است.

## ۱-۶ نتایج شبیه‌سازی اول از ورودی‌های کنترلی

### در حل مسئله رذایابی زمان-محدود

دسته اول از ورودی‌های کنترلی مطابق با روابط (۳۰) و (۳۱) تولید شده و به زیردریایی NPS AUV II اعمال می‌شوند. جدول ۷، مقادیر درنظر گرفته شده برای ثابت‌های اختیاری موجود در ورودی‌های کنترلی دسته اول را نشان می‌دهد. شکل ۳، پاسخ‌های زمانی متغیرهای مرتبه با

جدول ۷. مقادیر عددی انتخاب شده در شبیه‌سازی برای پارامترهای انتخاب شده در شبیه‌سازی اول از ورودی‌های کنترلی.

پارامترهای اختیاری موجود در سطوح لفزی

پارامترهای اختیاری موجود در قوانین کنترلی

دسته اول	$l_{1_1} = l_{1_2} = l_{1_3} = l_{1_4} = l_{1_5} = l_{1_6} = 3$ $l_{2_1} = l_{2_2} = l_{2_3} = l_{2_4} = l_{2_5} = l_{2_6} = 2$	$\xi_1 = \xi_2 = \xi_3 = \xi_4 = \xi_5 = \xi_6 = 1\gamma = 0.1$ $\mu_1 = \mu_2 = \mu_3 = \mu_4 = \mu_5 = \mu_6 = 1$
----------	--	--

<sup>۱</sup> Runge-Kutta

جدول ۸ مقادیر عددی انتخاب شده در شبیه‌سازی برای پارامترهای اختیاری موجود در دسته دوم از ورودی‌های کنترلی.

پارامترهای اختیاری موجود در سطح لغزشی		
دسته دوم	$o_1 = o_2 = o_3 = o_4 = o_5 = o_6 = 0.5$	$\xi_1 = \xi_2 = \xi_3 = \xi_4 = \xi_5 = \xi_6 = 1$ $\mu_1 = \mu_2 = \mu_3 = \mu_4 = \mu_5 = \mu_6 = 1$ $\Omega_1 = 0.8$ , and $\Omega_2 = 1.2\Omega_3 = 5$

جدول ۹. مقادیر عددی انتخاب شده در شبیه‌سازی برای پارامترهای اختیاری موجود در دسته سوم از ورودی‌های کنترلی.

پارامترهای اختیاری موجود در سطح لغزشی		
دسته سوم	$b_1 = b_2 = b_3 = b_4 = b_5 = b_6 = 0.3$ , $\epsilon_1 = \epsilon_2 = \epsilon_3 = \epsilon_4 = \epsilon_5 = \epsilon_6 = 0.1$ $\delta_1 = \delta_2 = \delta_3 = \delta_4 = \delta_5 = \delta_6 = 5$ , $\mathcal{U}_1 = \mathcal{U}_2 = \mathcal{U}_3 = \mathcal{U}_4 = \mathcal{U}_5 = \mathcal{U}_6 = 5$ , $\varsigma_1 = \varsigma_2 = \varsigma_3 = \varsigma_4 = \varsigma_5 = \varsigma_6 = 3$	$\xi_1 = \xi_2 = \xi_3 = \xi_4 = \xi_5 = \xi_6 = 1\gamma = 0.01$ $\mu_1 = \mu_2 = \mu_3 = \mu_4 = \mu_5 = \mu_6 = 1$

جدول ۱۰. زمان‌های همگرایی زیردریابی NPS AUV II به مسیرهای مرتع با اعمال انواع گشتاورهای ورودی پیشنهادی.

$\psi \rightarrow \psi_d$	$\theta \rightarrow \theta_d$	$\phi \rightarrow \phi_d$	$z \rightarrow z_d$	$y \rightarrow y_d$	$x \rightarrow x_d$	انواع ورودی‌های کنترلی پیشنهادی
3.5(sec)	3.85(sec)	2.65(sec)	6(sec)	12.5(sec)	16(sec)	دسته اول گشتاورهای ورودی
3.125(sec)	9.5(sec)	5.5(sec)	7.75(sec)	8.5(sec)	12(sec)	دسته دوم گشتاورهای ورودی
6.8(sec)	7.9(sec)	7.2(sec)	6.2(sec)	6.5(sec)	7.25(sec)	دسته سوم گشتاورهای ورودی

مانور واقعی ( $\eta$ ) زیردریابی NPS AUV II را با اعمال دسته سوم از ورودی‌های کنترلی نشان می‌دهد. با دقت در شکل ۷، می‌توان نتیجه گرفت که پاسخ‌های زمانی متغیرهای مسیر واقعی زیردریابی به پاسخ‌های زمانی متغیرهای بردار مسیر دلخواه ( $\eta_d$ ) همگرا شده‌اند. شکل ۸، پاسخ‌های زمانی ورودی‌های کنترلی دسته سوم  $\tau = [F_X, F_Y, F_Z, \tau_K, \tau_M, \tau_N]^T$  را نشان می‌دهد. شایان ذکر است که واحد تمامی گشتاورها نیوتون متر ( $Nm$ ) است. جدول ۱۰، زمان‌های محدود همگرایی زیردریابی به بردار مسیرهای مرتع را برای هر سه دسته گشتاورهای ورودی کنترلی ارائه می‌دهد.

## ۷- جمع‌بندی و نتیجه‌گیری

در این مقاله، مسئله هدایت و کنترل زیردریابی شش درجه آزادی برای مانور در امتداد مسیر دلخواه مورد بررسی و تحلیل قرار گرفت. سه کلاس و دسته ورودی‌های کنترلی با استفاده از تعیین روش کنترل مد لغزشی ترمیнал و تعریف سطوح لغزشی ابتکاری طراحی شدند تا هدف مانور زیردریابی شش درجه آزادی در مسیر دلخواه به صورت زمان-محدود برآورده گردد. از نقاط قوت ورودی‌های کنترلی پیشنهادی، مقاوم بودن در برابر نامعینی‌های پارامتری، دینامیک‌های مدل نشده و نیروهای ناشناخته اقیانوس بود.

با استفاده از تحلیل‌های ریاضی موجود در مقاله، چندین رابطه برای محاسبه و تخمین زمان‌های محدود مورد نیاز برای برآورده شدن هدف ریدیابی حاصل شد که با استفاده از این روابط و تنظیم مناسب پارامترهای آزاد موجود در ورودی‌های کنترلی می‌توان کیفیت پاسخ گذاری سیستم حلقه‌بسته زیردریابی را بهبود بخشید. نتایج شبیه‌سازی‌های عددی نیز نشان از کارایی و عملکرد مناسب ورودی‌های کنترلی پیشنهادی داشت. نویسنده‌گان در راستای کارهای آینده مرتبط با این مقاله تصمیم دارند تا چندین مسئله جدید و کاربردی را مورد بررسی و مطالعه قرار دهند که این مسائل عبارتند از: (الف) طراحی مجدد ورودی‌های کنترلی زیردریابی با درنظر گرفتن اثرات غیرخطی گری‌های عملگرها از جمله اشباع و ناجه

بردار مسیر واقعی ( $\eta$ ) زیردریابی NPS AUV II را با اعمال دسته اول از ورودی‌های کنترلی نشان می‌دهد. با دقت در تمام نمودارهای موجود در شکل ۳، می‌توان نتیجه گرفت که پاسخ‌های زمانی متغیرهای مسیر واقعی زیردریابی به پاسخ‌های زمانی متغیرهای (منتظرشان) بردار مسیر دلخواه  $\eta_d(t)$  همگرا شده‌اند.

شکل ۴، پاسخ‌های زمانی ورودی‌های کنترلی دسته اول  $\tau = [F_X, F_Y, F_Z, \tau_K, \tau_M, \tau_N]^T$  را نشان می‌دهد. شایان ذکر است که واحد تمامی گشتاورها نیوتون متر ( $Nm$ ) است.

## ۶-۲ نتایج شبیه‌سازی دسته دوم از ورودی‌های کنترلی در حل مسئله ریدیابی زمان-محدود

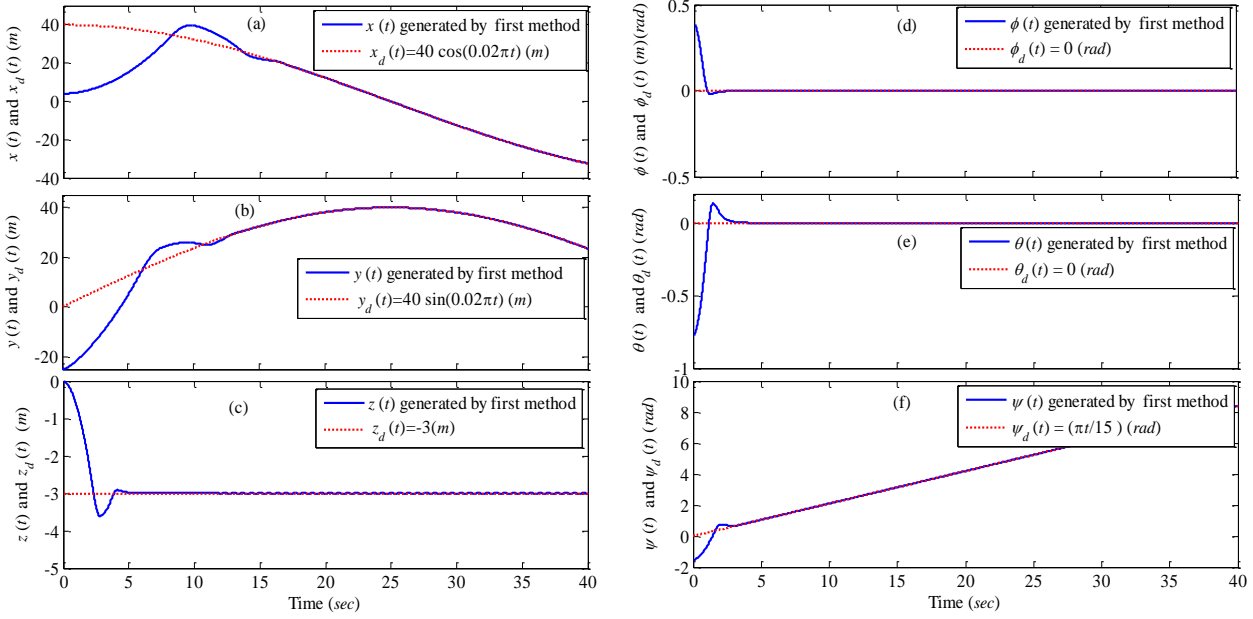
دسته دوم از ورودی‌های کنترلی مطابق با روابط (۴۲) و (۴۳) ساخته شده و به زیردریابی NPS AUV II اعمال می‌شوند. جدول ۸، مقادیر درنظر گرفته شده برای ثابت‌های اختیاری موجود در ورودی‌های کنترلی دسته دوم را نشان می‌دهد. شکل ۵، پاسخ‌های زمانی متغیرهای مرتبط با بردار مسیر واقعی ( $\eta$ ) زیردریابی NPS AUV II را با اعمال دسته دوم از ورودی‌های کنترلی نشان می‌دهد. با دقت در شکل ۵، می‌توان نتیجه گرفت که پاسخ‌های زمانی متغیرهای مسیر واقعی زیردریابی به پاسخ‌های زمانی متغیرهای بردار مسیر دلخواه ( $\eta_d(t)$ ) همگرا شده‌اند. شکل ۶، پاسخ‌های زمانی ورودی‌های کنترلی دسته دوم  $\tau = [F_X, F_Y, F_Z, \tau_K, \tau_M, \tau_N]^T$  را نشان می‌دهد. شایان ذکر است که واحد تمامی گشتاورها نیوتون متر ( $Nm$ ) است.

## ۶-۳ نتایج شبیه‌سازی دسته سوم از ورودی‌های کنترلی در حل مسئله ریدیابی زمان-محدود

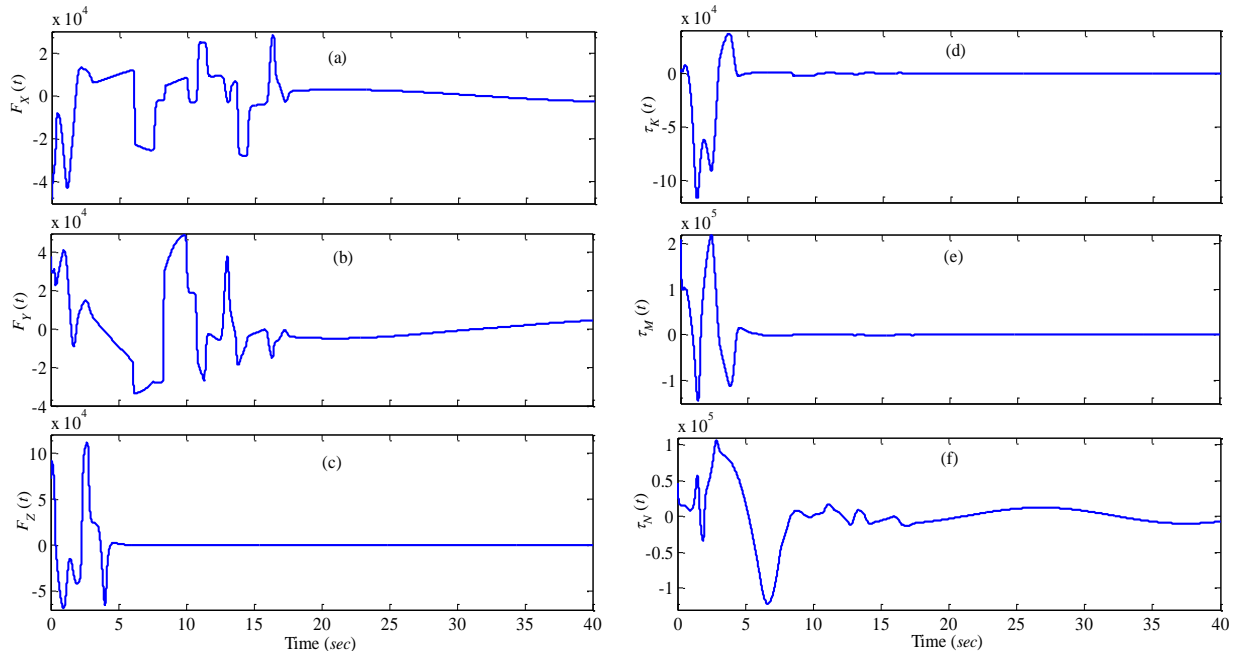
دسته سوم از ورودی‌های کنترلی مطابق با روابط (۵۲) و (۵۳) تولید شده و به زیردریابی NPS AUV II اعمال می‌شوند. جدول ۹، مقادیر درنظر گرفته شده برای ثابت‌های اختیاری موجود در ورودی‌های کنترلی دسته سوم را نشان می‌دهد. شکل ۷، پاسخ‌های زمانی متغیرهای مرتبط با بردار

محدود ضرایب کران بالای نامعینی‌های مدل زیردریایی و اثبات مجدد  
پایداری زمان-محدود سیستم حلقه‌بسته‌ی زیردریایی.

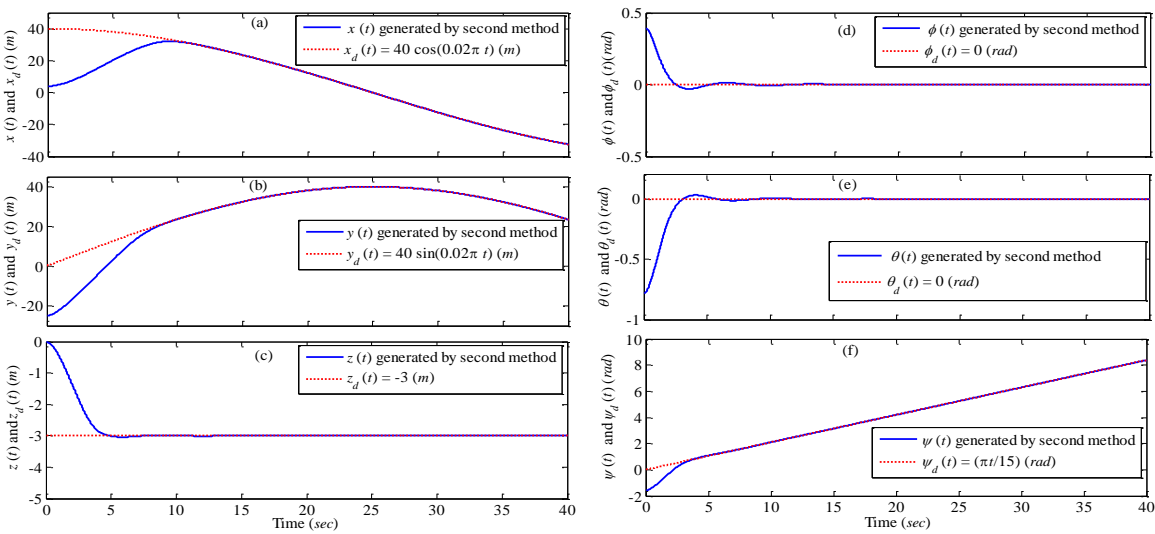
مرده، (ب) طراحی رویتگر غیرخطی زمان-محدود برای تخمین بردار  
سرعت‌های خطی و زاویه‌ای به منظور کاهش تعداد سنسورهای فیزیکی  
زیردریایی، (ج) طراحی قوانین تطبیق و بروزرسانی برای تخمین زمان-



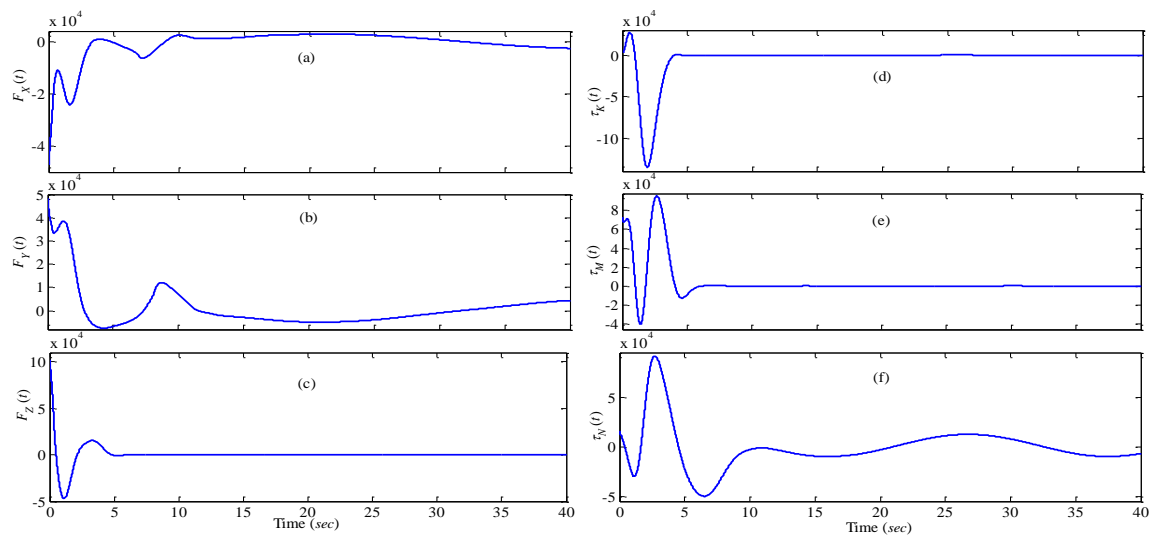
شکل ۳. پاسخ‌های زمانی متغیرهای مسیر مانور واقعی زیردریایی II با اعمال اولین دسته از ورودی‌های کنترلی طراحی شده. (a): پاسخ‌های زمانی  $x_d(t)$  و  $x(t)$ ; (b): پاسخ‌های زمانی  $y_d(t)$  و  $y(t)$ ; (c): پاسخ‌های زمانی  $z_d(t)$  و  $z(t)$ ; (d): پاسخ‌های زمانی  $\phi_d(t)$  و  $\phi(t)$ ; (e): پاسخ‌های زمانی  $\theta_d(t)$  و  $\theta(t)$ ; (f): پاسخ‌های زمانی  $\psi_d(t)$  و  $\psi(t)$ .



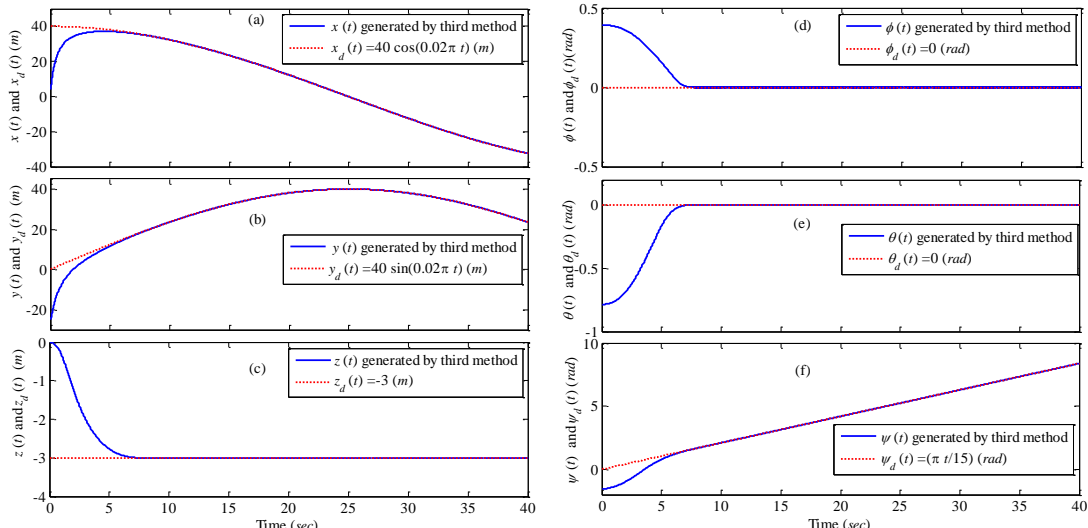
شکل ۴. پاسخ‌های زمانی ورودی‌های کنترلی دسته اول ( $\tau$ ) اعمال شده به زیردریایی II.NPS AUV II: (a): پاسخ زمانی  $F_x(t)$ , (b): پاسخ زمانی  $F_y(t)$ , (c): پاسخ زمانی  $F_z(t)$ , (d): پاسخ زمانی  $\tau_K(t)$ , (e): پاسخ زمانی  $\tau_M(t)$ , (f): پاسخ زمانی  $\tau_N(t)$ .



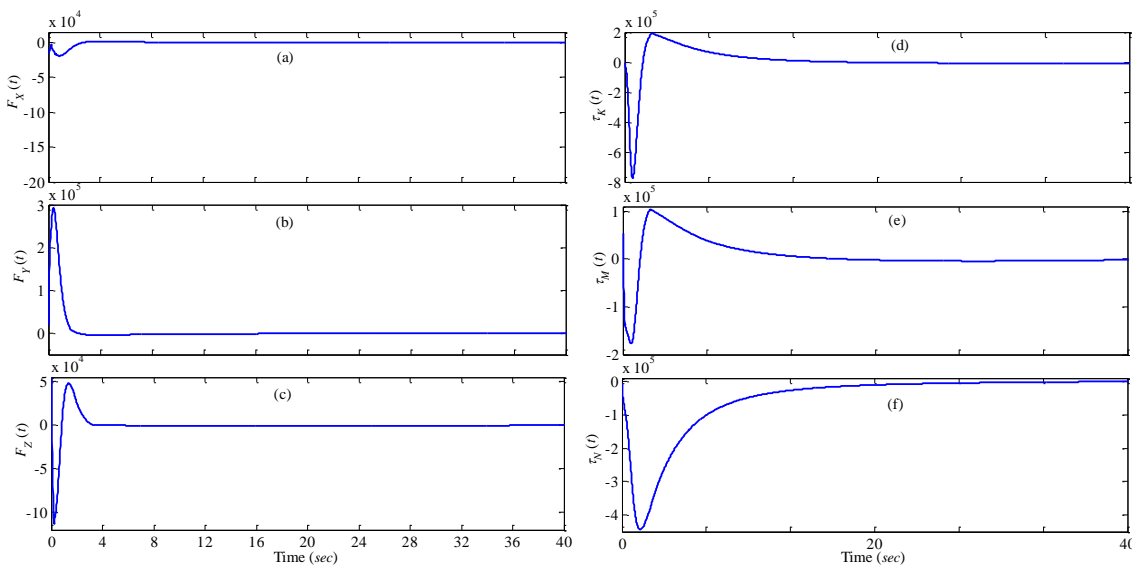
شکل ۵. پاسخ‌های زمانی متغیرهای مسیر مانور واقعی زیردریایی NPS AUV II با اعمال دومنین دسته از ورودی‌های کنترلی طراحی شده. (a): پاسخ‌های زمانی  $x(t)$  و  $x_d(t) = 40 \cos(0.02\pi t)$  (m). (b): پاسخ‌های زمانی  $y(t)$  و  $y_d(t) = 40 \sin(0.02\pi t)$  (m). (c): پاسخ‌های زمانی  $z(t)$  و  $z_d(t) = -3$  (m). (d): پاسخ‌های زمانی  $\phi(t)$  و  $\phi_d(t) = 0$  (rad). (e): پاسخ‌های زمانی  $\theta(t)$  و  $\theta_d(t) = 0$  (rad). (f): پاسخ‌های زمانی  $\psi(t)$  و  $\psi_d(t) = (\pi t/15)$  (rad).



شکل ۶. پاسخ‌های زمانی ورودی‌های کنترلی دسته دوم  $\tau(t)$  اعمال شده به زیردریایی NPS AUV II. (a): پاسخ زمانی  $F_x(t)$ . (b): پاسخ زمانی  $F_y(t)$ . (c): پاسخ زمانی  $F_z(t)$ . (d): پاسخ زمانی  $\tau_x(t)$ . (e): پاسخ زمانی  $\tau_y(t)$ . (f): پاسخ زمانی  $\tau_z(t)$ .



شکل ۷. پاسخ‌های زمانی متغیرهای مسیر مانور واقعی زیردریایی NPS AUV II با اعمال سومین دسته از ورودی‌های کنترلی طراحی شده. (a): پاسخ‌های زمانی  $x(t)$  و  $x_d(t) = 40 \cos(0.02\pi t)$  (m). (b): پاسخ‌های زمانی  $y(t)$  و  $y_d(t) = 40 \sin(0.02\pi t)$  (m). (c): پاسخ‌های زمانی  $z(t)$  و  $z_d(t) = -3$  (m). (d): پاسخ‌های زمانی  $\phi(t)$  و  $\phi_d(t) = 0$  (rad). (e): پاسخ‌های زمانی  $\theta(t)$  و  $\theta_d(t) = 0$  (rad). (f): پاسخ‌های زمانی  $\psi(t)$  و  $\psi_d(t) = (\pi t/15)$  (rad).



شکل ۸ پاسخ‌های زمانی ورودی‌های کنترلی دسته سوم ( $\tau$ ) اعمال شده به زیردریایی NPS AUV II: (a): پاسخ زمانی  $F_X(t)$ ; (b): پاسخ زمانی  $F_Y(t)$ ; (c): پاسخ زمانی  $F_Z(t)$ ; (d): پاسخ زمانی  $\tau_N(t)$ ; (e): پاسخ زمانی  $\tau_M(t)$ ; (f): پاسخ زمانی  $\tau_K(t)$

- [11] G. Bartolini and A. Pisano, "Black-box position and attitude tracking for underwater vehicles by second-order sliding-mode technique," *International Journal of Robust and Nonlinear Control*, vol. 20, no. 14, pp. 1594–1609, 2010.
- [12] J. Guo, "A waypoint-tracking controller for a biomimetic autonomous underwater vehicle," *Ocean Engineering*, vol. 33, no. 17-18, pp. 2369–2380, 2006.
- [13] F. Y. Bi., Y. J. Wei, J. Z. Zhang, and W. Cao, "Position-tracking control of underactuated autonomous underwater vehicles in the presence of unknown ocean currents," *IET Control Theory & Applications*, vol. 14, no. 11, pp. 2369–2380, 2010.
- [14] K. Mukherjee, I. N. Kar, and R. K. P. Bhatt, "Region tracking based control of an autonomous underwater vehicle with input delay," *Ocean Engineering*, vol. 99, no. 1, pp. 107–114, 2015.
- [15] X. Qi, "Adaptive coordinated tracking control of multiple autonomous underwater vehicles," *Ocean Engineering*, vol. 91, no. 1, pp. 84–90, 2014.
- [16] G. Antonelli, S. Chiaverini, N. Sarkar, and M. West, "Adaptive control of an autonomous underwater vehicle: Experimental results on ODIN," *IEEE Transactions On Control Systems Technology*, vol. 9, no. 5, pp. 756–765, 2001.
- [17] J. Guo, F. Chiu, and C. Huang, "Design of a sliding mode fuzzy controller for the guidance and control of an autonomous underwater vehicle," *Ocean Engineering*, vol. 30, no. 16, pp. 2137–2155, 2003.
- [18] Y. C. Liu, S. Y. Liu, and N. Wang, "Fully-tuned fuzzy neural network based robust adaptive tracking control of unmanned underwater vehicle with thruster dynamics," *Neurocomputing*, vol. 196, no. 1, pp. 1–13, 2016.
- [19] Y. Chen, R. Zhang, X. Zhao, and J. Gao, "Adaptive fuzzy inverse trajectory tracking control of underactuated underwater vehicle with uncertainties," *Ocean Engineering*, vol. 121, no. 1, pp. 123–133, 2016.
- [20] K. Shojaei, "Neural network formation control of underactuated autonomous underwater vehicles with saturating actuators," *Neurocomputing*, vol. 194, no. 1, pp. 372–384, 2016.
- [21] B. Miao, T. Li, and W. Luo, "A DSC and MLP based robust adaptive NN tracking control for underwater vehicle," *Neurocomputing*, vol. 111, no. 1, pp. 184–189, 2013.

## مراجع

- [1] Y. Nasuno, E. Shimizu, M. Ito, I. Yamamoto, S. Tsukioka, and H. Yoshida, "A controller design for autonomous underwater vehicle 'MR-X1' using linear matrix inequalities," *International Journal of Control*, vol. 80, no. 7, pp. 1125–1135, 2008.
- [2] Y. Shen, K. Shao, W. Ren, and Y. Liu, "Diving control of autonomous underwater vehicle based on improved active disturbance rejection control approach," *Neurocomputing*, vol. 173, no. 3, pp. 1377–1385, 2016.
- [3] D. Maalouf, I. Tamanaja, E. Campos, A. Chemori, V. Creuze, J. Torres, and R. Lozano, "From PD to nonlinear adaptive depth-control of a tethered autonomous underwater vehicle," *IFAC Proceedings Volumes*, vol. 46, no. 2, pp. 743–748, 2013.
- [4] F. Repoulias and E. Papadopoulos, "Planar trajectory planning and tracking control design for underactuated AUVs," *Ocean Engineering*, vol. 34, no. 11–12, pp. 1650–1667, 2007.
- [5] Y. Li, C. Wei, Q. Wu, P. Chen, Y. Jiang, and Y. Li, "Study of 3 dimension trajectory tracking of underactuated autonomous underwater vehicle," *Ocean Engineering*, vol. 105, no. 1, pp. 270–274, 2015.
- [6] S. Liu, D. Wang, and E. Poh, "Nonlinear output feedback tracking control for AUVs in shallow wave disturbance condition," *International Journal of Control*, vol. 81, no. 11, pp. 1806–1823, 2008.
- [7] B. Subudhi, K. Mukherjee, and S. Ghosh, "A static output feedback control design for path following of autonomous underwater vehicle in vertical plane," *Ocean Engineering*, vol. 63, no. 1, pp. 72–76, 2013.
- [8] I. Yang, S. Byun, B. Seo, D. Lee, and D. S. Han, "Robust dynamic inversion based on sliding mode control for autonomous underwater vehicles," *IFAC Proceedings Volumes*, vol. 46, no. 10, pp. 79–84, 2013.
- [9] M. Kim, H. Joe, J. Kim, and S. Yu, "Integral sliding mode controller for precise maneuvering of autonomous underwater vehicle in the presence of unknown environmental disturbances," *International Journal of Control*, vol. 88, no. 10, pp. 2055–2065, 2015.
- [10] H. Joe, M. Kim, and S. Yu, "Second-order sliding-mode controller for autonomous underwater vehicle in the presence of unknown disturbances," *Nonlinear Dynamics*, vol. 78, no. 1, pp. 183–196, 2014.

- 
- [40] X. H. Zhang, K. Zhang, and X. J. Xie, “Finite-time output feedback stabilization of nonlinear high-order feed forward systems,” *International Journal of Robust and Nonlinear Control*, vol. 26, no. 8, pp. 1794–1814, 2016.
- [41] Z. Zuo, “Nonsingular fixed-time consensus tracking for second-order multi-agent networks,” *Automatica*, vol. 54, no. 1, pp. 305–309, 2015.
- [42] H. B. Oza, Y. V. Orlov, and S. K. Spurgeon, “Finite time stabilization of a perturbed double integrator with unilateral constraints,” *Mathematics and Computers in Simulation*, vol. 95, no. 1, pp. 200–212, 2014.
- [43] Y. Su and C. Zheng, “Robust finite-time output feedback control of perturbed double integrator,” *Automatica*, vol. 60, no. 1, pp. 86–91, 2015.
- [44] H. Liu, T. Zhang, and X. Tian, “Continuous output-feedback finite-time control for a class of second-order nonlinear systems with disturbances,” *International Journal of Robust and Nonlinear Control*, vol. 26, no. 2, pp. 218–234, 2016.
- [45] S. P. Bhat and D. S. Bernstein, “Geometric homogeneity with applications to finite-time stability,” *Mathematics of Control, Signals and Systems*, vol. 17, no. 2, pp. 101–127, 2005.
- [46] Q. Lan, S. Li, J. Yang, and L. Guo, “Finite-time control for soft landing on an asteroid based on line-of-sight angle,” *Journal of the Franklin Institute*, vol. 351, no. 1, pp. 383–398, 2014.
- [47] S. Yu and X. Long, “Finite-time consensus for second-order multi-agent systems with disturbances by integral sliding mode,” *Automatica*, vol. 54, no. 1, pp. 158–165, 2015.
- [48] Y. Zhang, G. Liu, and B. Luo, “Finite-time cascaded tracking control approach for mobile robots,” *Information Sciences*, vol. 284, no. 1, pp. 31–43, 2014.
- [49] S. Mondal and C. Mahanta, “Adaptive second order terminal sliding mode controller for robotic manipulators,” *Journal of the Franklin Institute*, vol. 351, no. 4, pp. 2356–2377, 2014.
- [50] K. Lu and Y. Xia, “Adaptive attitude tracking control for rigid spacecraft with finite-time convergence,” *Automatica*, vol. 49, no. 12, pp. 3591–3599, 2013.
- [51] S. Y. Chen and F. J. Lin, “Robust nonsingular terminal sliding mode control for nonlinear magnetic bearing system,” *IEEE Transactions on Control Systems Technology*, vol. 19, no. 3, pp. 636–643, 2011.
- [52] Y. Chen, Z. Shi, and C. Lin, “Some criteria for the global finite-time synchronization of two Lorenz-Stenflo systems coupled by a new controller,” *Applied Mathematical Modelling*, vol. 38, no. 15, pp. 4078–4085, 2014.
- [53] S. Liu and L. Q. Chen, “Second-order terminal sliding mode control for networks synchronization,” *Nonlinear Dynamics*, vol. 79, no. 1, pp. 205–213, 2015.
- [54] H. Komurcugil, “Adaptive terminal sliding-mode control strategy for DC–DC buck converters,” *ISA Transactions*, vol. 51, no. 6, pp. 673–681, 2012.
- [55] A. Abooei, M. Moravej Khorasani, and M. Haeri “Free-chattering robust finite time tracking for connected double integrator nonlinear systems,” *submitted to 4<sup>th</sup> International Conference on Control, Instrumentation, and Automation*, Qazvin Islamic Azad University, Qazvin, Iran, January 27–28, 2016.
- [56] Y. Feng, X. Yu, and F. Han, “On nonsingular terminal sliding-mode control of nonlinear systems,” *Automatica*, vol. 49, no. 6, pp. 1715–1722, 2013.
- [57] S. Zhankui and K. Sun, “Nonlinear and chaos control of a micro-electro-mechanical system by using second-order fast terminal sliding mode control,” *Communications in Nonlinear Science and Numerical Simulation*, vol. 18, no. 9, pp. 2540–2548, 2013.
- [22] A. Bagheri and J. J. Moghaddam, “Simulation and tracking control based on neural-network strategy and sliding-mode control for underwater remotely operated vehicle,” *Neurocomputing*, vol. 72, no. 7, pp. 1934–1950, 2009.
- [23] J. Yang, J. Feng, D. Qi, and Y. Li, “Longitudinal motion control of underwater vehicle based on fast smooth second order sliding mode,” *Optik - International Journal for Light and Electron Optics*, vol. 127, no. 20, pp. 9118–9130, 2016.
- [24] J. Ghommam and M. Saad, “Backstepping-based cooperative and adaptive tracking control design for a group of underactuated AUVs in horizontal plane,” *International Journal of Control*, vol. 87, no. 5, pp. 1076–1093, 2014.
- [25] F. Rezazadegan, K. Shojaei, F. Sheikholeslam, and A. Chatraei, “A novel approach to 6-DOF adaptive trajectory tracking control of an AUV in the presence of parameter uncertainties,” *Ocean Engineering*, vol. 107, no. 1, pp. 246–258, 2015.
- [26] J. Xu, M. Wang, and L. Qiao, “Dynamical sliding mode control for the trajectory tracking of underactuated unmanned underwater vehicles,” *Ocean Engineering*, vol. 105, no. 1, pp. 54–63, 2015.
- [27] Z. H. Ismail, M. B. M. Mokhar, V. W. E. Putranti, and M. W. Dunnigan, “A robust dynamic region-based control scheme for an autonomous underwater vehicle,” *Ocean Engineering*, vol. 111, no. 1, pp. 155–165, 2016.
- [28] S. Li and X. Wang, “Finite-time consensus and collision avoidance control algorithms for multiple AUVs,” *Automatica*, vol. 49, no. 11, pp. 3359–3367, 2013.
- [29] Z. Peng, D. Wang, G. Sun, and H. Wang, “Formation tracking control of multiple marine surface vehicles over a directed network: A cooperative dynamic surface control design,” *IFAC Proceedings Volumes*, vol. 46, no. 20, pp. 707–712, 2013.
- [30] S. Li, X. Wang, and L. Zhang, “Finite-time output feedback tracking control for autonomous underwater vehicles,” *IEEE Journal of Oceanic Engineering*, vol. 40, no. 3, pp. 727–751, 2015.
- [31] S. P. Bhat and D. S. Bernstein, “Finite-time stability of continuous autonomous systems,” *SIAM Journal on Control and Optimization*, vol. 38, no. 3, pp. 751–766, 2000.
- [32] M. Galicki, “Finite-time control of robotic manipulators,” *Automatica*, vol. 51, no. 1, pp. 49–54, 2015.
- [33] M.R. Mokhtari and B. Cherki, “A new robust control for minirotocraft unmanned aerial vehicles,” *ISA Transactions*, vol. 56, no. 1, pp. 86–101, 2015.
- [34] M. Jiang, S. Wang, J. Mei, and Y. Shen, “Finite-time synchronization control of a class of memristor-based recurrent neural networks,” *Neural Networks*, vol. 63, no. 1, pp. 133–140, 2015.
- [35] M. Galicki, “Finite-time trajectory tracking control in a task space of robotic manipulator,” *Automatica*, vol. 67, no. 1, pp. 165–170, 2016.
- [36] S. P. Bhat and D. S. Bernstein, “Continuous finite-time stabilization of the translational and rotational double integrators,” *IEEE Transactions on Automatic Control*, vol. 43, no. 5, pp. 678–682, 1998.
- [37] Y. Hong, J. Huang, and Y. Xu, “On an output feedback finite-time stabilization problem,” *IEEE Transactions on Automatic Control*, vol. 46, no. 2, pp. 305–309, 2001.
- [38] Z. Zuo and L. Tie, “A new class of finite-time nonlinear consensus protocols for multi-agent systems,” *International Journal of Control*, vol. 87, no. 2, pp. 363–370, 2016.
- [39] A. Polyakov, D. Efimov, and W. Perruquetti, “Finite-time and fixed-time stabilization: Implicit Lyapunov function approach,” *Automatica*, vol. 51, no. 1, pp. 332–340, 2015.

- [58] X. Liu and Y. Han, "Finite time control for MIMO nonlinear system based on higher-order sliding mode," *ISA Transactions*, vol. 53, no. 6, pp. 1838-1846, 2014.
- [59] M. Ghasemi, S. G. Nersesov, and G. Clayton, "Finite-time tracking using sliding mode control," *Journal of the Franklin Institute*, vol. 351, no. 5, pp. 2966-2990, 2014.
- [60] J. Yang, S. Li, J. Su, and X. Yu, "Continuous nonsingular terminal sliding mode control for systems with mismatched disturbances," *Automatica*, vol. 49, no. 7, pp. 2287-2291, 2013.
- [61] S. E. Parsegov, A. E. Polyakov, and P. S. Shcherbakov, "Fixed-time consensus algorithm for multi-agent systems with integrator dynamics," *IFAC Proceedings Volumes*, vol. 46, no. 27, pp. 110-115, 2013.
- [62] M. Defoort, A. Polyakov, G. Demesure, M. Djemai, and K. Veluvolu, "Leader-follower fixed-time consensus for multi-agent systems with unknown non-linear inherent dynamics," *IET Control Theory and Applications*, vol. 9, no. 14, pp. 2165-2170, 2015.
- [63] A. Polyakov and A. Poznyak, "Lyapunov function design for finite-time convergence analysis: "Twisting" controller for second-order sliding mode realization," *Automatica*, vol. 45, no. 2, pp. 444-448, 2009.
- [64] G. H. Hardy, J. E. Littlewood, and G. Polya "Inequalities," Cambridge University Press, 1952.
- [65] B. Gerammehr and S. Rafee Nekoo, "Nonlinear suboptimal control of fully coupled non-affine six-DOF autonomous underwater vehicle using the state-dependent Riccati equation," *Ocean Engineering*, vol. 96, no. 1, pp. 248-257, 2015.
- [66] T. I. Fossen, "Marine control systems: guidance, navigation and control of ships, rigs and underwater vehicles," Marine Cybernetics, Trondheim, Norway, 2002.
- [67] T. I. Fossen, "Guidance and control of ocean vehicles," John Wiley and Sons Ltd, England, 1994.